



Ministère des Forêts, de la Faune et des Parcs



# Suivi des populations témoins de saumon atlantique au Québec

20 décembre 2019

# **Suivi des populations témoins de saumon atlantique au Québec**

**Rapport scientifique 2018**

Par  
Julien April  
Maxime Guérard  
William Cayer-Blais  
et  
Vanessa Cauchon

Pour le  
ministère des Forêts, de la Faune et des Parcs  
Secteur de la faune et des parcs

Décembre 2019

## Diffusion

La version intégrale de ce document est accessible sur le site Web :  
[mffp.gouv.qc.ca/publication/faune/](http://mffp.gouv.qc.ca/publication/faune/)

Référence à citer :

---

APRIL, J., M. GUERARD, W. CAYER-BLAIS et V. CAUCHON (2019). *Suivi des populations témoins de saumon atlantique au Québec : rapport scientifique 2018*, Québec, ministère des Forêts, de la Faune et des Parcs, Direction générale de la gestion de la faune et des habitats, Direction de l'expertise sur la faune aquatique, 66 p.

---

© Gouvernement du Québec  
Ministère des Forêts, de la Faune et des Parcs

## Remerciements

Nous tenons tout d'abord à remercier Hydro-Québec pour sa participation financière à la réalisation des travaux sur la rivière de la Trinité. Nous remercions également les dirigeants et le personnel de la Société de gestion des rivières de Gaspé et ceux de la Société d'aménagement de Baie-Trinité, le St. John Salmon Club de la rivière Saint-Jean ainsi que les pêcheurs de ces deux rivières, qui nous ont appuyés dans la réalisation des travaux sur le terrain. Nous remercions enfin tout le personnel de l'équipe technique qui a manifesté beaucoup d'enthousiasme dans l'accomplissement de ses tâches. Notre présence sur ces rivières et notre insistance à vouloir recueillir les meilleurs renseignements possible comportent à l'occasion certaines contraintes, mais nous croyons que ces efforts en valent la peine, puisqu'ils nous permettent de parfaire nos connaissances et de favoriser ainsi la conservation et la gestion éclairée de l'espèce.



## Réalisation

### **Gestionnaire responsable : Isabel Thibault**

Chef du Service de la gestion des espèces aquatiques  
Secteur de la faune et des parcs

- Analyses et rédaction : William Cayer-Blais, technicien de la faune  
Vanessa Cauchon, technicienne de la faune  
Maxime Guérard, biologiste  
Julien April, biologiste, Ph. D.
- Échantillonnage : William Cayer-Blais, technicien de la faune  
François-Alexis Behm, technicien de la faune  
Lilyane Boissonneault, technicienne de la faune  
Karolane Ruel, technicienne de la faune  
Alexandre Carbonneau, étudiant  
Yannicia Fréchette-Hudon, stagiaire et étudiante  
Maxime Guérard, biologiste  
Jérôme Légaré, stagiaire et étudiant  
Rémi Thevenot, étudiant  
Évan Hovington, technicien de la faune  
Nicolas Bond-Laroche, étudiant  
Nicolas Gagné, technicien de la faune
- Support en coordination : Soazig Le Breton, biologiste
- Conception graphique : Maxime Guérard, biologiste
- Lecture d'écaillés : Denise Deschamps, technicienne de la faune  
Vanessa Cauchon, technicienne de la faune
- Traitement de texte : Maxime Guérard, biologiste

### **Ministère des Forêts, de la Faune et des Parcs**

Direction générale de la gestion de la faune et des habitats  
Direction de l'expertise sur la faune aquatique  
880, chemin Sainte-Foy, 4<sup>e</sup> étage  
Québec (Québec) G1S 4X4  
Téléphone : 418 627-8694

## Résumé

Le suivi serré de populations animales de référence est un outil essentiel pour assurer une saine gestion de la faune. L'analyse de données amassées sur plusieurs années permet notamment d'orienter les mesures de conservation et de mise en valeur, ce qui est primordial dans le cas d'espèces à la fois exploitées et en situation globalement préoccupante comme le saumon atlantique. Dans ce contexte, un suivi de deux populations témoins de saumon atlantique a débuté il y a plus de 35 ans au Québec dans deux régions distinctes, soit la rivière Saint-Jean, en Gaspésie, et la rivière de la Trinité, sur la Côte-Nord. Ce projet vise essentiellement à décrire l'évolution de l'abondance, des caractéristiques, des taux de survie en rivière et des taux de retour de la mer de ces deux populations naturelles.

De façon générale, une diminution significative de l'abondance des smolts ainsi que des adultes (madeleineaux et rédibermarins) est observée depuis les années 1980 dans les deux rivières, à l'exception du nombre de madeleineaux qui demeure stable dans la rivière Saint-Jean. Les smolts en dévalaison en 2018 se chiffraient à 38 214 individus dans la rivière Saint-Jean. Dans la rivière de la Trinité, 35 519 smolts ont migré vers la mer en 2018, ce qui est légèrement inférieur à la moyenne des 5 années précédentes. La diminution du nombre de smolts est accompagnée de faibles variations temporelles de longueurs et de poids, le facteur de condition globale diminuant au fil du temps dans la rivière Saint-Jean. Le nombre d'adultes en montaison en rivière en 2018, à la suite d'une période d'alimentation en mer, a été de 681 saumons dans la rivière Saint-Jean et 265 saumons dans la rivière de la Trinité. Il s'agit de la plus faible montaison observée après 2014 sur la rivière Saint-Jean et la plus faible enregistrée depuis le début du suivi sur la rivière de la Trinité.

Le taux de survie en rivière, de l'œuf au smolt, montre une diminution significative avec le temps dans les deux rivières témoins (Saint-Jean : 1,66 %; de la Trinité : 2,03 % pour la cohorte de 2012; moyennes historiques : 2,35 % et 2,25 %, respectivement), ce qui suggère que des changements de facteurs biotiques ou abiotiques en rivière pourraient influencer défavorablement la survie des juvéniles depuis les dernières années. Concernant la phase de vie en mer, une diminution historique significative du taux de retour, du smolt à l'adulte, est observée dans la rivière de la Trinité, pour laquelle nous possédons la plus longue série de données (cohorte 2016 : 0,67 %; moyenne historique : 2,14 %). La population de la rivière Saint-Jean ne montre aucune tendance significative dans les taux de retour, malgré des fluctuations marquées au fil des années (cohorte 2014 : 2,07 %; moyenne historique : 1,40 %).

Dans l'ensemble, la tendance à la baisse de plusieurs indicateurs populationnels confirme que le saumon atlantique requiert des efforts de conservation. Heureusement, la mise en œuvre de diverses modalités de gestion, notamment une importante diminution des prélèvements par la pêche au cours des dernières décennies, a permis aux deux rivières témoins de se maintenir au-delà ou près du seuil de conservation optimal au cours des dernières années.

## Table des matières

Remerciements.....	v
Réalisation.....	vii
Résumé.....	viii
Table des matières.....	ix
Liste des tableaux.....	x
Liste des figures.....	xi
Liste des annexes.....	xii
Introduction.....	13
Importance des suivis fauniques.....	13
La situation du saumon atlantique.....	13
Suivi de deux rivières témoins pour le saumon atlantique au Québec.....	14
Méthodologie.....	15
Zone d'étude et données environnementales.....	15
Échantillonnage des smolts en dévalaison et des adultes en montaison.....	16
Échantillonnage des smolts en dévalaison.....	16
Échantillonnage des saumons adultes en montaison.....	17
Calculs des taux de survie en rivière et des taux de retour de la mer.....	18
Statistiques.....	18
Résultats.....	20
Conditions environnementales.....	20
Dévalaison des smolts.....	20
Période de dévalaison.....	20
Abondance de smolts.....	20
Caractéristiques des smolts.....	21
Montaison des adultes.....	22
Pêche sportive.....	22
Montaison des adultes.....	22
Caractéristiques des adultes.....	23
Nombre d'œufs déposés.....	23
Taux de survie en rivière et taux de retour de la mer.....	24
Survie en rivière, de l'œuf au smolt.....	24
Taux de retour de la mer, du smolt à l'adulte.....	24
Discussion.....	26
Conclusion.....	27
Glossaire.....	28
Liste des références.....	29
Tableaux.....	33
Figures.....	51

## Liste des tableaux

Tableau I.	Captures de smolts en dévalaison printanière dans la rivière Saint-Jean en 2018.....	33
Tableau II.	Captures de smolts en dévalaison printanière dans la rivière de la Trinité en 2018 .....	34
Tableau III.	Caractéristiques des smolts dans la rivière Saint-Jean en 2018 .....	35
Tableau IV.	Caractéristiques des smolts dans la rivière de la Trinité en 2018 .....	36
Tableau V.	Estimation de la dévalaison et caractéristiques des smolts de la rivière Saint-Jean de 1989 à 2016 et de la rivière de la Trinité de 1984 à 2018 .....	37
Tableau VI.	Caractéristiques des ombles chevaliers échantillonnés en dévalaison dans la rivière de la Trinité de 1998 à 2018.....	38
Tableau VII.	Bilan de l'exploitation des saumons dans la rivière Saint-Jean de 1984 à 2018 .....	39
Tableau VIII.	Bilan de l'exploitation des saumons dans la rivière de la Trinité de 1984 à 2018.....	40
Tableau IX.	Montaison totale des saumons par catégorie de groupe d'âge en mer dans la rivière Saint-Jean de 1984 à 2018 .....	41
Tableau X.	Montaison totale des saumons par catégorie de groupe d'âge en mer dans la rivière de la Trinité de 1984 à 2018.....	42
Tableau XI.	Caractéristiques des ombles de fontaine anadromes dans la passe migratoire de la rivière de la Trinité de 1997 à 2018 .....	43
Tableau XII.	Caractéristiques des saumons échantillonnés dans la rivière Saint-Jean en 2018 .....	44
Tableau XIII.	Caractéristiques des saumons échantillonnés dans la rivière de la Trinité en 2018.....	45
Tableau XIV.	Caractéristiques des saumons échantillonnés dans la rivière Saint-Jean de 1983 à 2018 .....	46
Tableau XV.	Caractéristiques des saumons échantillonnés dans la rivière de la Trinité de 1980 à 2018 .....	47
Tableau XVI.	Survie en rivière, de l'œuf au smolt, dans les rivières Saint-Jean et de la Trinité de 1980 à 2018 .....	48
Tableau XVII.	Taux de retour de la mer, du smolt jusqu'à l'adulte, dans les rivières Saint-Jean et de la Trinité .....	49

## Liste des figures

Figure 1. La rivière Saint-Jean dans son contexte géographique.....	51
Figure 2. La rivière de la Trinité dans son contexte géographique .....	52
Figure 3. Précipitations et température journalière de l'eau des rivières Saint-Jean et de la Trinité en 2018 .....	53
Figure 4. Dévalaison des smolts dans la rivière Saint-Jean en 2018.....	54
Figure 5. Dévalaison des smolts dans la rivière de la Trinité en 2018.....	55
Figure 6. Comparaison de la longueur totale moyenne journalière des smolts des rivières Saint-Jean et de la Trinité en 2018 .....	56
Figure 7. Classes de longueur des smolts mesurés vivants et intervalles de classes de longueur en fonction de l'âge des smolts échantillonnés dans les rivières Saint-Jean et de la Trinité en 2018 .....	57
Figure 8. Relation longueur-poids des smolts des rivières Saint-Jean et de la Trinité en 2018 .....	58
Figure 9. Abondance des madeleineaux et des rédibermarins dans les rivières Saint-Jean et de la Trinité de 1984 à 2018.....	59
Figure 10. Nombre d'ombles de fontaine anadromes en montaison enregistrés annuellement à la passe migratoire, présentés par classes de taille, dans la rivière de la Trinité de 1985 à 2018.....	60
Figure 11. Nombre d'ombles chevaliers anadromes en montaison enregistrés annuellement à la passe migratoire de la rivière de la Trinité de 1999 à 2018 .....	60
Figure 12. Nombre d'ombles de fontaine et d'ombles chevaliers anadromes en montaison enregistrés quotidiennement à la passe migratoire de la rivière de la Trinité en 2018.....	61
Figure 13. Classes de longueur et intervalles de classes de longueur en fonction de l'âge des saumons adultes échantillonnés dans les rivières Saint-Jean et de la Trinité en 2018.....	62
Figure 14. Poids moyen des saumons des rivières Saint-Jean et de la Trinité de 1983 à 2018 .....	63
Figure 15. Longueur à la fourche moyenne des saumons des rivières Saint-Jean et de la Trinité de 1983 à 2018 .....	64
Figure 16. Taux de survie en rivière, de l'œuf au smolt, dans les rivières Saint-Jean et de la Trinité. ...	65
Figure 17. Taux de retour de la mer, du smolt à l'adulte, dans les rivières Saint-Jean et de la Trinité. L'abondance totale des saumons de la rivière Saint-Jean pour la dernière année est estimée.....	66

## Liste des annexes

(SUR SUPPORT ÉLECTRONIQUE)

- Annexe I. Mesures des précipitations ainsi que de la température et du niveau de l'eau de la rivière Saint-Jean en 2018
- Annexe II. Mesures des précipitations ainsi que de la température et du niveau de l'eau de la rivière de la Trinité en 2018
- Annexe III. Inventaire des reproducteurs dans la rivière Saint-Jean en 2018
- Annexe IV. Distribution des saumons à la mi-saison, par secteur, dans la rivière Saint-Jean de 1989 à 2018

# Introduction

## Importance des suivis fauniques

Le suivi serré de populations fauniques de référence est un outil essentiel pour assurer une saine gestion des stocks. En effet, l'analyse de données amassées sur plusieurs années permet notamment d'orienter les mesures de conservation et de mise en valeur, ce qui est primordial dans le cas d'espèces à la fois exploitées et en situation globalement préoccupante, comme le saumon atlantique.

Des suivis rigoureux de systèmes témoins sont effectués chez plusieurs populations de poissons, plus particulièrement chez les salmonidés, et ce, partout dans le monde (ex. : Grant et coll., 2007; DFO, 2008). Ces suivis permettent d'évaluer les effets des changements climatiques (Gurney et coll., 2008), de l'arrivée d'un compétiteur ou d'un nouveau parasite (Miller et Vincent, 2008) et des différentes actions humaines comme la pollution ou l'exploitation (Bickham et coll., 2000; Conover et Munch, 2002; Conover et coll., 2009) sur les populations naturelles. Les suivis permettent également d'évaluer l'évolution d'indices clés de l'état de santé des populations naturelles, telle la diversité génétique. En effet, des changements dans la diversité génétique d'une population peuvent se faire sentir bien avant l'observation de changements dans l'abondance des individus, ce qui permet de réagir avant qu'un réel déclin ne survienne (Shrimpton et Heath, 2003; Schwartz et coll., 2006; Hoffmann et Willi, 2008). De plus, le suivi de populations témoins permet une gestion plus prédictive des stocks par l'élaboration de modèles de dynamique de population (Ricker, 1954; Beverton et Holt, 1957) parfois appliqués aux salmonidés (Caron et coll., 1999; Legault, 2005; Gibson et coll., 2008). Plus récemment, les séries de données historiques tirées de suivis annuels de populations témoins ont permis d'effectuer des analyses de viabilité de populations (AVP) (Legault, 2005; Gibson et coll., 2008; Palstra et Dionne, 2011). Ces analyses plus complexes intègrent des paramètres relatifs à la dynamique des populations, et parfois aux composantes génétiques, afin de mieux prédire l'évolution de l'abondance, des caractéristiques des populations cibles ainsi que leur probabilité d'extinction, ce qui aide à orienter les décisions de gestion.

En résumé, le suivi étroit de populations témoins offre des séries de données historiques qui permettent : 1) de déterminer les conséquences potentielles des changements environnementaux et des activités humaines sur les populations; 2) de signaler de nouveaux stressseurs (pollution, parasite, etc.) avant qu'ils aient une incidence réelle; 3) de suivre les paramètres de santé des stocks, tels la diversité génétique et les taux de survie annuels, afin d'adapter les orientations de gestion de façon appropriée au moment opportun; et 4) de concevoir de nouveaux outils complémentaires tenant compte de l'évolution constante des populations afin de favoriser une gestion prédictive des stocks exploités.

## La situation du saumon atlantique

L'abondance des saumons adultes en rivière a graduellement diminué au cours des dernières décennies sur toute l'aire de répartition de l'espèce (Parrish et coll., 1998; WWF, 2001; CIEM, 2017). Au Québec, leur nombre est passé d'environ 120 000 saumons adultes en moyenne durant les années 1980 à moins de 68 000 saumons en moyenne depuis les années 2000 pour les 114 rivières à saumons suivies sur le territoire, une diminution touchant particulièrement les rédibermarins (CIEM,

2017; MFFP 2017). Certaines populations du sud de l'aire de répartition, telles les populations de la baie de Fundy intérieure, ont été déclarées en voie de disparition par le Comité sur la situation des espèces en péril au Canada (COSEPAC, 2011). Au Québec, le saumon de la plupart des régions a obtenu le statut de « préoccupant », alors qu'il est déclaré en voie de disparition sur l'île d'Anticosti. À une plus fine échelle, on constate néanmoins que plusieurs populations de saumon du Québec demeurent dans un état exceptionnel. Dans ce contexte, il devient important de poursuivre les efforts de suivis serrés de populations modèles afin de mieux comprendre les effets des variations environnementales et humaines sur l'intégrité des stocks de saumon atlantique pour ainsi adapter les orientations de mise en valeur et de conservation en fonction de l'état actuel de l'espèce.

## Suivi de deux rivières témoins pour le saumon atlantique au Québec

Le suivi de deux rivières témoins a débuté il y a près de 40 ans au Québec dans deux régions géographiques et génétiques distinctes : la rivière Saint-Jean en Gaspésie et la rivière de la Trinité sur la Côte-Nord. L'objectif principal de ces travaux est d'obtenir une série de données historiques permettant de suivre l'évolution de la dynamique de deux populations naturelles modèles appartenant à deux régions distinctes du Québec. Plus précisément, ces travaux visent à suivre l'évolution de l'abondance et des caractéristiques phénotypiques et génétiques des jeunes en dévalaison et des adultes en montaison. Également, ce projet vise à suivre l'évolution des taux de survie en rivière et des taux de retour de la mer afin d'évaluer l'état de ces populations témoins, de déterminer les facteurs potentiellement responsables des fluctuations observées et, ultimement, de fournir des données fiables pour orienter les mesures de gestion des rivières à saumon du Québec.

# Méthodologie

## Zone d'étude et données environnementales

Deux populations de saumon atlantique appartenant à deux régions géographiques et génétiques distinctes sont suivies annuellement, la première dans la rivière Saint-Jean, à l'extrémité est de la Gaspésie (48,76889°, -64,44750°, figure 1), et la deuxième dans la rivière de la Trinité, sur la Moyenne-Côte-Nord, à mi-chemin entre les villes de Baie-Comeau et de Port-Cartier (49,41806°, -67,30444°, figure 2).

La rivière Saint-Jean est la plus grande des deux rivières témoins : elle draine un bassin de 1 122 km<sup>2</sup> et la longueur de son cours principal, depuis sa source jusqu'à son estuaire, est de 109 km. La superficie totale de la rivière accessible au saumon est estimée à 2,25 millions de mètres carrés et le nombre d'unités de production (UP) est de 1,61 million. Le seuil de conservation optimal de la population de la rivière Saint-Jean est de 2,12 millions d'œufs et le seuil de conservation démographique est de 0,79 million d'œufs (Caron et coll., 1999; Dionne et coll., 2015). La rivière coule sur de la roche sédimentaire calcaire, ce qui contribue à donner une grande conductivité à l'eau et à maintenir le pH basique. L'écoulement de la rivière est rapide sur toute sa longueur; la granulométrie grossière et les faciès d'écoulement dominants sont les seuils. Dans la partie inférieure de son cours, la roche mère domine dans plusieurs sections. En amont de la limite de la zone d'influence des marées, à 5 km de la mer, la rivière se divise en un réseau de canaux, dont les plus importants sont presque complètement obstrués par des embâcles naturels de troncs d'arbres. Finalement, la rivière forme un barachois de 5,4 km<sup>2</sup> soumis à l'influence des marées, pour ensuite se jeter dans la mer. La très grande partie du bassin de drainage est couverte d'une sapinière à bouleau jaune, dans la partie en aval de la rivière, et d'une sapinière à bouleau blanc, dans la partie en amont.

La rivière de la Trinité, quant à elle, draine un bassin de 551 km<sup>2</sup>, soit environ la moitié de la taille de celui de la Saint-Jean, et se jette directement dans les eaux du golfe du Saint-Laurent. La longueur de son cours principal est de 75 km, mais le saumon fréquente uniquement les 70 premiers kilomètres. Un barrage est situé à environ 150 m de l'embouchure et les saumons utilisent une passe migratoire pour franchir l'obstacle. La superficie totale de la rivière accessible au saumon est estimée à 1,92 million de mètres carrés et le nombre d'UP est de 0,99 million, soit environ les deux tiers du nombre d'unités de la rivière Saint-Jean. Les seuils de conservation optimal et démographique pour la population de la rivière de la Trinité sont de 1,66 million d'œufs et de 0,61 million d'œufs, respectivement (Caron et coll., 1999; Dionne et coll., 2015). La rivière coule sur les roches granitiques du Bouclier canadien. La conductivité de l'eau est faible et le pH est acide. La rivière est marquée par une succession d'écoulements rapides et plus lents; le sable y est omniprésent, sauf dans les zones d'écoulement rapide. L'ensemble du bassin de drainage est couvert d'une sapinière à bouleau blanc.

Outre le saumon atlantique, l'omble de fontaine (*Salvelinus fontinalis*), l'anguille d'Amérique (*Anguilla rostrata*) et l'épinoche à trois épines (*Gasterosteus aculeatus*) se trouvent dans les deux rivières. La lamproie marine (*Petromyzon marinus*) fraie aussi dans la rivière Saint-Jean, mais on ne possède pas de données concernant cette espèce pour la rivière de la Trinité. Les autres espèces sont très rares ou limitées à des habitats particuliers. Dans la rivière Saint-Jean, par exemple, des gaspareaux (*Alosa*

*pseudoharengus*) et quelques spécimens de truites arc-en-ciel (*Oncorhynchus mykiss*) ont été capturés. Dans la rivière de la Trinité, on trouve une population d'ombles chevaliers anadromes (*Salvelinus alpinus*), de meuniers rouges (*Catostomus catostomus*), de meuniers noirs (*Catostomus commersoni*), d'épinoches à quatre épines (*Apeltes quadracus*) et d'épinoches à neuf épines (*Pungitius pungitius*).

Les deux rivières présentent des régimes hydriques et thermiques différents. La débâcle et le réchauffement printanier se produisent généralement plus tôt dans la rivière Saint-Jean que dans la rivière de la Trinité. Des données sur la température de l'eau sont recueillies quotidiennement durant toute l'année par un thermographe pour les deux rivières témoins ( $\pm 0,1$  °C, figure 3). La température de l'eau enregistrée pendant l'hiver se situe normalement autour de 0 °C (données non publiées, MFFP). Finalement, des mesures quotidiennes de précipitations à l'aide d'un pluviomètre ( $\pm 0,5$  mm) et du niveau de l'eau à l'aide d'une règle ( $\pm 0,5$  cm) sont effectuées pour les deux rivières.

## Échantillonnage des smolts en dévalaison et des adultes en montaison

### Échantillonnage des smolts en dévalaison

L'estimation du nombre de smolts se fait par la méthode de capture-recapture. Les smolts sont capturés dans la zone de capture, marqués par l'ablation de la nageoire adipeuse (M) et relâchés. Une zone de recapture, située en aval, permet la capture (C) et l'observation du nombre d'individus marqués recapturés (R). La section de rivière située entre les deux zones permet un mélange homogène des smolts capturés et non capturés dans la zone de capture. La taille de la population de smolts en dévalaison (N) est ensuite estimée à l'aide de l'estimateur de Petersen (modifié par Chapman, 1951) de la façon suivante :

$$N = [(M + 1) (C + 1)] / (R + 1) \text{ (Ricker, 1980)}$$

Sur la rivière Saint-Jean, une barrière de comptage munie d'un piège et couvrant près de la moitié de la rivière sert d'engin de capture au kilomètre 8 (kilomètres de rivière depuis l'eau saumâtre). La zone de recapture est située au kilomètre 6,5 et est munie de deux trappes rotatives installées côte à côte. Sur la rivière de la Trinité, une première trappe rotative est installée dans la zone de capture au kilomètre 9 et la seconde est mise à l'eau dans la zone de recapture au kilomètre 3,2.

Afin de déterminer la longueur des smolts en dévalaison dans chacune des rivières, la longueur totale de 50 smolts vivants choisis au hasard est mesurée quotidiennement. Également, afin de décrire plus précisément les caractéristiques des smolts en dévalaison, environ 150 d'entre eux sont prélevés dans la zone de recapture selon la proportion des captures journalières, et ce, pour mesurer la longueur totale, la longueur à la fourche ( $\pm 1$  mm) et le poids ( $\pm 0,1$  g), pour noter le sexe et prélever des écailles en vue de déterminer l'âge des individus.

Dans le but d'étudier l'évolution des caractéristiques génétiques des deux populations témoins, un morceau de nageoire adipeuse est prélevé sur 100 smolts répartis sur l'ensemble de la période de dévalaison annuellement. Les tissus sont conservés dans de l'éthanol à 95 % et ensuite congelés pour un entreposage à plus long terme.

Depuis 1998, le ministère des Forêts, de la Faune et des Parcs (MFFP) participe à un projet dirigé par Michael Power du Département de biologie de l'Université de Waterloo, en vue d'évaluer l'écologie trophique du saumon atlantique et de l'omble chevalier dans différentes rivières du Québec et de Terre-Neuve. Pour ce faire, 20 smolts sont échantillonnés chaque année dans les deux rivières témoins de même que 20 ombles chevaliers dans la rivière de la Trinité afin qu'on puisse analyser leur signature isotopique et ainsi évaluer la diète de ces espèces et l'utilisation de leur habitat dans le temps.

Le MFFP a également effectué en 2016 et 2018, en collaboration avec l'agence canadienne d'inspection des aliments, un suivi visant la détection hâtive de l'anémie infectieuse du saumon sur les rivières Saint-Jean et de la Trinité. Cette maladie est présente dans certaines provinces de l'atlantique, mais aucun cas n'a à ce jour été confirmé au Québec.

### *Échantillonnage des saumons adultes en montaison*

Dans la rivière Saint-Jean, le dénombrement des adultes se fait en apnée à la fin de la période de montaison. Un classement par catégorie (madeleineaux et rédibermarins) est alors effectué. Cela représente le nombre minimal de géniteurs présents dans la rivière, puisqu'aucun ajustement n'est fait pour tenir compte des poissons ayant pu échapper aux observateurs. Le nombre total de saumons revenus en rivière est ensuite obtenu en ajoutant tous les poissons capturés et gardés ou trouvés morts dans la rivière avant l'inventaire. La prise de données morphométriques (longueur à la fourche, poids et sexe) et le prélèvement d'écaillés sont effectués lors de l'enregistrement des captures par la pêche sportive et sur les saumons trouvés morts. Dans cette rivière, un contingent de 50 grands saumons peut être conservé à la pêche sportive à partir du 1<sup>er</sup> août à condition qu'un nombre suffisant de géniteurs soit atteint lors du décompte de mi-saison. Les années où le nombre minimal de géniteurs n'est pas atteint, il en résulte un manque de données morphométriques sur les grands saumons. Pour contrer cette lacune, des petits coffres d'échantillonnage ont été fournis aux guides de pêche afin qu'ils prélèvent des écaillés et prennent une mesure de longueur à la fourche sur les grands saumons remis à l'eau.

Dans la rivière de la Trinité, le dénombrement des saumons est effectué lors de leur passage dans une passe migratoire. La longueur totale de chaque saumon est estimée grâce à une règle, graduée tous les 10 cm, située sur le plancher de la cage de rétention. La date ainsi que l'heure de passage sont également notées. Les spécimens de moins de 65 cm sont classés dans la catégorie des madeleineaux, les autres, dans celle des rédibermarins. Le nombre total de saumons revenus en rivière est ensuite obtenu en ajoutant aux montaisons de la passe migratoire toutes les captures sportives et les saumons trouvés morts en aval de la passe migratoire. La prise de mesures morphométriques plus détaillée (longueur à la fourche, longueur totale, poids et sexe) ainsi que le prélèvement d'écaillés et d'un bout de nageoire adipeuse sont effectués sur les madeleineaux lors de l'enregistrement des captures sportives et sur les poissons trouvés morts. Depuis 2002, à l'exception de 2003, la remise à l'eau de tous les rédibermarins est obligatoire dans cette rivière. Afin de recueillir des données sur les caractéristiques de ces derniers, un échantillonnage est fait dans la passe migratoire lors de leur passage. La longueur à la fourche est mesurée, des écaillés sont prélevées pour la détermination de l'âge et un bout de nageoire adipeuse est conservé pour l'analyse génétique. Les poissons d'autres espèces, tels que les ombles de fontaine et les ombles chevaliers, sont également dénombrés et mesurés lors de leur passage.

Depuis 2016, le calcul du nombre de reproducteurs intègre un facteur de correction qui permet de tenir compte des mortalités associées à la remise à l'eau. Un taux de mortalité à la remise à l'eau de 7 % est donc dorénavant appliqué afin d'évaluer plus précisément la déposition d'œufs en rivière.

## Calculs des taux de survie en rivière et des taux de retour de la mer

Les évaluations annuelles du nombre de smolts en dévalaison et d'adultes en montaison nous permettent d'estimer les taux de survie en rivière, soit de l'œuf au smolt, de même que les taux de retour de la mer du smolt à l'adulte.

L'estimation du taux de survie en rivière s'effectue en comparant le nombre d'œufs déposés en rivière par une cohorte donnée avec le nombre de smolts de cette même cohorte qui dévalent la rivière quelques années plus tard. Le nombre d'œufs déposés au cours d'une année donnée est calculé en fonction du nombre de femelles de retour en rivière, de leur poids ainsi que du nombre moyen d'œufs par kilogramme par femelle (madeleineaux : 2 025 œufs/kg; rédibermarins : 1 745 œufs/kg – Leclerc, 2015). Les œufs déposés en rivière deviennent des smolts qui ne migrent pas tous la même année vers la mer. Afin de calculer le nombre de smolts produits par le frai d'une année, par exemple celui de 2011, il faut additionner le nombre de smolts de 2 ans en 2015, de 3 ans en 2016, de 4 ans en 2017 et de 5 ans en 2018. La majorité des smolts des deux rivières témoins migrent vers la mer à l'âge de 3 ans et très peu dévalent à l'âge de 5 ans.

Les smolts qui migrent vers la mer ne reviennent pas tous la même année; les madeleineaux reviennent un an plus tard et les dibernarins, deux ans après leur départ de la rivière. Dans les deux rivières témoins, très peu de saumons demeurent trois ans en mer avant de revenir frayer une première fois. La majorité des saumons revient dans la rivière Saint-Jean après un séjour de deux ans en mer alors que, dans la rivière de la Trinité, la majorité revient après une seule année en mer. Un plus long séjour en mer se fait au détriment de la probabilité de survie, mais lors du retour, ces saumons sont de plus grande taille et ont une fécondité moyenne plus élevée que ceux ayant passé un an en mer. Le taux de retour à la suite du séjour en mer de chaque cohorte de smolts est calculé en comparant le nombre de smolts en dévalaison pour une année donnée, estimé par la méthode de capture-recapture, avec le nombre d'adultes de cette même cohorte qui retournent en rivière un an, deux ans et trois ans plus tard, selon les lectures d'âge.

## Statistiques

L'évolution de l'abondance des smolts et des adultes dans le temps, de leur taille, de leur facteur de condition ainsi que de la proportion de femelles a été testée par des modèles de régression linéaire pour les deux rivières témoins. Afin de présenter le plus fidèlement possible l'évolution temporelle des caractéristiques morphométriques des saumons (poids, longueurs, sexratios, facteur de condition), les années où le nombre d'individus échantillonnés ne permettait pas une représentation adéquate de la population ( $N < 10$ ) ont été exclues des analyses. La régression linéaire a également été utilisée pour évaluer l'évolution de l'âge moyen des smolts et la déposition d'œufs. L'évolution des taux de survie en rivière ainsi que des taux de retour de la mer depuis les années 1980 a aussi été évaluée à l'aide de modèles de régression linéaire pour les deux rivières témoins. Les modèles de régression alternatifs, tels les modèles quadratiques, logistiques, logarithmiques et cycliques, ont par ailleurs été testés et

comparés au modèle linéaire à l'aide de l'approche par sélection de modèle basée sur le critère d'information Akaike (AIC).

# Résultats

## Conditions environnementales

En 2018, le réchauffement printanier a été tardif pour les deux rivières, plus particulièrement dans la rivière de la Trinité. L'eau a atteint les 10 °C le 31 mai dans la rivière Saint-Jean et est demeurée au-dessus des normales saisonnières par la suite (figure 3). Le niveau d'eau était légèrement plus élevé en début de saison en raison du printemps tardif et a rapidement baissé sous les niveaux moyens enregistrés par manque de précipitations le reste de la saison. Dans la rivière de la Trinité, le thermographe installé au printemps à la fosse Indienne a été perdu ce qui fait en sorte que nous n'avons pas de donnée après le 30<sup>e</sup> mai. Cependant, un thermographe installé en amont dans la rivière indique que l'eau a atteint les 10 °C le 6<sup>e</sup> juin et est demeurée fraîche par la suite. Le niveau d'eau était relativement haut au début de la dévalaison et a varié autour de la moyenne le reste de la saison estivale (figure 3).

## Dévalaison des smolts

### *Période de dévalaison*

Le déclenchement de la dévalaison coïncide avec le réchauffement printanier et se produit habituellement lorsque la température de l'eau approche les 10 °C. D'autres facteurs semblent également influencer le moment de la dévalaison. Une étude récente effectuée à large échelle spatiale et temporelle suggère que les facteurs tels que le débit, la température de l'eau de la rivière et la température de surface de l'océan sont significativement corrélés au moment de la dévalaison des smolts (Otero et coll., 2014).

La dévalaison se produit toujours plus tôt dans la rivière Saint-Jean que dans la rivière de la Trinité. En 2018, dans la rivière Saint-Jean, la dévalaison a débuté plus tardivement, soit du 20 mai au 24 juin (tableau I), pour se concentrer principalement du 28 mai au 12 juin. Dans la rivière de la Trinité, la dévalaison s'est déroulée normalement, soit du 27 mai au 4 juillet, et les captures se sont concentrées du 9 au 24 juin (tableau II).

### *Abondance de smolts*

Les données sur le nombre de captures et de smolts marqués quotidiennement sont présentées dans les tableaux I et II ainsi que dans les figures 4 et 5. Dans la rivière Saint-Jean, l'installation de la barrière de comptage a été retardée au 23 mai, ce qui a nécessité le transport des smolts capturés dans les trappes rotatives de la zone de recapture jusqu'au site de capture pour les marquer et les relâcher. De plus, à partir du 18 juin, quelques smolts ont été remontés pour le marquage puisque les captures à la barrière de comptage étaient faibles. Le nombre de smolts ayant descendu la rivière au printemps 2018 est donc évalué à 38 214, soit 51 % sous la moyenne historique et 18 % sous la moyenne quinquennale. Dans la rivière de la Trinité, l'estimation obtenue pour l'ensemble de la dévalaison est de 35 519 smolts, soit 29 % sous la moyenne historique et 7% sous la moyenne quinquennale. Depuis les années 1980, l'abondance des smolts en dévalaison a diminué

significativement dans les deux rivières témoins (Saint-Jean :  $r^2 = 0,45$ ,  $p < 0,0001$ ; de la Trinité :  $r^2 = 0,44$ ,  $p < 0,0001$ ).

### *Caractéristiques des smolts*

Les caractéristiques des smolts échantillonnés en 2018 sont présentées dans les tableaux III et IV. En plus des mesures réalisées sur environ 150 smolts échantillonnés, nous obtenons une longueur moyenne à partir des poissons mesurés vivants et remis à l'eau. Dans la rivière Saint-Jean, la longueur totale moyenne des 1 390 smolts mesurés vivants est de 132 mm et celle des 1 192 smolts de la rivière de la Trinité est de 133 mm. De façon générale, la longueur moyenne journalière des smolts a tendance à s'accroître durant la saison dans les deux rivières, ce que nous observons en 2018 (figure 6). Au cours des années, la longueur totale moyenne des smolts a fluctué, mais demeure relativement stable dans le temps, avec une tendance à l'augmentation (Saint-Jean :  $r^2 = 0,07$ ,  $p = 0,17$ ; de la Trinité :  $r^2 = 0,10$ ,  $p = 0,07$ ).

On trouve annuellement une différence de taille, bien que minime, entre les smolts de ces deux rivières. Contrairement à ce que l'on pourrait croire, les smolts de la rivière Saint-Jean, dont la taille moyenne historique est de 126 mm, sont en moyenne plus âgés (3,39 ans) que ceux de la rivière de la Trinité (2,98 ans), qui sont pourtant de taille supérieure, mesurant en moyenne 133 mm (tableau V). Dans la rivière Saint-Jean, les smolts de 3 et 4 ans représentent 54 % et 38 % des individus de la dévalaison, alors que, dans la rivière de la Trinité, la classe d'âge de 3 ans domine nettement avec 77 % de l'effectif.

La taille des smolts n'est donc pas nécessairement révélatrice de leur âge. En effet, la structure de taille présente une distribution normale sans égard à l'âge des smolts (figure 7). Également, la longueur totale des smolts n'est pas corrélée avec leur âge (Saint-Jean :  $r^2 = 0,001$ ,  $p = 0,86$ ; de la Trinité :  $r^2 = 0,004$ ,  $p = 0,72$ ). L'âge moyen des smolts de la rivière Saint-Jean a diminué avec le temps, passant en moyenne de 3,6 ans au début des années 1990 à 3,4 ans en moyenne depuis les cinq dernières années ( $r^2 = 0,22$ ,  $p = 0,01$ ), alors que celui des smolts de la rivière de la Trinité est resté stable ( $r^2 = 0,002$ ,  $p = 0,80$ ).

Le poids des smolts des deux rivières, tout comme leur longueur, est également resté stable au cours des années (Saint-Jean :  $r^2 = 0,0002$ ,  $p = 0,94$ ; de la Trinité :  $r^2 = 0,02$ ,  $p = 0,47$ ). La figure 8 révèle que les relations longueur-poids chez les smolts des deux rivières témoins sont linéaires. Le facteur de condition de Fulton (K) ( $100\ 000 * \text{poids}/\text{longueur}^3$ ; Thompson, 1942) donne un indice de la condition générale du poisson. Une valeur près de 1 indique une bonne condition d'embonpoint. En 2018, le K moyen était de 0,83 dans la rivière Saint-Jean et de 0,90 dans la rivière de la Trinité (moyennes historiques : 0,87 et 0,92, respectivement; tableau V). Le modèle de régression linéaire indique que le facteur de condition des smolts de la rivière Saint-Jean a diminué avec le temps ( $r^2 = 0,31$ ,  $p = 0,002$ ), alors qu'il est resté stable pour la rivière de la Trinité ( $r^2 = 0,09$ ,  $p = 0,08$ ).

Chez les smolts, on trouve habituellement plus de femelles que de mâles. La moyenne historique du rapport des sexes chez les smolts est de 64 % pour les femelles dans la rivière Saint-Jean et de 60 % dans la rivière de la Trinité (tableau V). Des sexratios de 69 % pour les femelles ont été observés dans la dévalaison en 2018 pour la rivière Saint-Jean et 62 % pour la rivière de la Trinité, ce qui est

supérieur à la moyenne historique (tableau V). Sur le plan temporel, la proportion de femelles est stable dans le temps pour les deux rivières (Saint-Jean :  $r^2 = 0,05$ ,  $p = 0,27$ ; de la Trinité :  $r^2 = 0,11$ ,  $p = 0,05$ ).

Au cours de la dévalaison des smolts dans la rivière de la Trinité, 11 ombles chevaliers ont été échantillonnés dans le cadre du projet sur les isotopes stables. Le tableau VI présente leurs caractéristiques.

## Montaison des adultes

### *Pêche sportive*

Il a fallu aux pêcheurs 1 427 jours de pêche sur la rivière Saint-Jean pour récolter 61 madeleineaux et remettre à l'eau 411 saumons. Le succès de pêche est donc de 0,04 saumon gardé par jour ou 0,33 saumon capturé (remis à l'eau ou non), alors que la moyenne des cinq dernières années est de 0,08 saumon par jour ou 0,31 saumon capturé (tableau VII). Les conditions de niveau et de température de l'eau ont été peu favorables au succès de la pêche.

Sur la rivière de la Trinité, il a fallu 757 jours de pêche pour récolter 25 madeleineaux à la pêche sportive et pour remettre à l'eau 13 saumons, dont 5 rédibermarins, pour un succès de pêche de 0,03 saumon gardé par jour, ce qui est inférieur à la moyenne des cinq dernières années de 0,08 saumon gardé (tableau VIII).

### *Montaison des adultes*

Dans la rivière Saint-Jean, le dénombrement des géniteurs en fin de saison s'est déroulé le 24 septembre, les conditions climatiques et la visibilité ayant été favorables. L'abondance estimée de la montaison en 2018 pour cette rivière est de 278 madeleineaux et de 403 rédibermarins pour un total de 681 saumons, ce qui représente une baisse de 21 % par rapport à la moyenne des cinq dernières années, principalement due au faible retour des rédibermarins qui ont été 33 % moins abondants (tableaux VII et IX). Dans la rivière de la Trinité, la montaison totale est de 265 saumons, soit 184 madeleineaux et 81 rédibermarins, ce qui est inférieur de 51 % à la moyenne des cinq dernières années pour la montaison totale, de 48 % pour les madeleineaux et de 56 % pour les rédibermarins (tableaux VIII et X). Il s'agit de la plus faible montaison observée depuis le début du suivi sur la rivière de la Trinité.

Historiquement, le nombre de madeleineaux dans la rivière Saint-Jean est resté stable ( $r^2 = 0,002$ ,  $p = 0,77$ ), alors qu'il a diminué significativement avec le temps dans la rivière de la Trinité ( $r^2 = 0,56$ ,  $p < 0,0001$ ), plus particulièrement de 1990 à 1993 (figure 9). Le nombre de rédibermarins a par contre diminué significativement depuis les années 1980 dans les deux rivières témoins (Saint-Jean :  $r^2 = 0,32$ ,  $p = 0,0002$ ; de la Trinité :  $r^2 = 0,51$ ,  $p < 0,0001$ ).

En ce qui concerne les autres espèces dénombrées dans la passe migratoire de la rivière de la Trinité, le nombre d'ombles de fontaine qui ont franchi la passe en 2018 était de 1 917 individus, ce qui est inférieur à la moyenne des cinq dernières années (figure 10). Quant aux ombles chevaliers, 11 ont été observés dans la passe migratoire en 2018 (figure 11). La figure 12 présente les dates de montaison

de l'omble de fontaine et de l'omble chevalier au cours de la saison et le tableau XI présente les caractéristiques des ombles de fontaine.

### *Caractéristiques des adultes*

Les caractéristiques des saumons adultes récoltés durant la saison 2018 sont présentées dans les tableaux XII et XIII ainsi que dans les figures 13 à 15. La synthèse de ces données depuis 1980 est présentée dans les tableaux XIV et XV.

Le poids moyen des madeleineaux en 2018 pour la rivière Saint-Jean est de 1,36 kg, ce qui est largement inférieur à sa moyenne historique de 1,64 kg, et le poids moyen pour la rivière de la Trinité est de 1,62 kg, ce qui est également inférieur à sa moyenne historique de 1,67 kg (figure 14). La longueur des madeleineaux en 2018 est légèrement inférieure dans les deux rivières (Saint-Jean : 52,9 cm, moyenne historique : 55,0 cm; de la Trinité : 53,1 cm, moyenne historique : 54,0 cm) (figure 15). En ce qui concerne les caractéristiques des dibermarins en 2018 dans la rivière Saint-Jean, seulement 12 individus ont pu être échantillonnés. Leurs caractéristiques sont néanmoins supérieures à la moyenne historique, avec une longueur à la fourche moyenne de 77,3 cm et un poids moyen de 4,62 kg. Dans la rivière de la Trinité, la longueur à la fourche moyenne des dibermarins de 74,2 cm est également supérieure à la moyenne historique de 73,8 cm. Le poids des rédibermarins n'est pas mesuré pour la rivière de la Trinité.

Aucune tendance significative n'est observée pour la longueur à la fourche avec le temps chez les madeleineaux dans les deux rivières témoins, malgré de fortes fluctuations dans la rivière Saint-Jean (Saint-Jean :  $r^2 = 0,02$ ,  $p = 0,43$ ; de la Trinité :  $r^2 = 0,03$ ,  $p = 0,28$ ). Le poids est également resté stable dans le temps dans les rivières Saint-Jean ( $r^2 = 0,04$ ,  $p = 0,30$ ) et de la Trinité ( $r^2 = 0,07$ ,  $p = 0,11$ ). Par ailleurs, le facteur de condition (K) des madeleineaux a diminué dans la rivière Saint-Jean ( $r^2 = 0,43$ ,  $p < 0,0001$ ), mais est resté stable dans la rivière de la Trinité ( $r^2 = 0,007$ ,  $p = 0,63$ ). La longueur à la fourche chez les dibermarins des deux rivières augmente avec le temps (Saint-Jean :  $r^2 = 0,25$ ,  $p = 0,01$ ; de la Trinité :  $r^2 = 0,22$ ,  $p = 0,004$ ).

Concernant le sexratio chez les madeleineaux en 2018, aucun sont des femelles dans la rivière Saint-Jean, alors que, dans la rivière de la Trinité, on dénombre 4,5 % de femelles, les moyennes historiques respectives étant de 1,4 % et de 8,8 % (tableaux XIV et XV). La proportion de femelles chez les madeleineaux est stable temporellement dans la rivière Saint-Jean, mais augmente légèrement dans la rivière de la Trinité (Saint-Jean :  $r^2 = 0,007$ ,  $p = 0,65$ ; de la Trinité :  $r^2 = 0,08$ ,  $p = 0,07$ ). Les proportions moyennes historiques de femelles chez les dibermarins dans les rivières Saint-Jean et de la Trinité sont de 68,4 % et de 91,5 %, respectivement, et augmentent significativement dans les deux rivières avec le temps (Saint-Jean :  $r^2 = 0,25$ ,  $p = 0,02$ ; de la Trinité :  $r^2 = 0,47$ ,  $p = 0,0003$ ).

### *Nombre d'œufs déposés*

L'évaluation du nombre d'œufs déposés en rivière se base sur l'évaluation du nombre de géniteurs et de leurs caractéristiques de poids et de fécondité (Caron, 1990; Leclerc, 2015). Les caractéristiques des madeleineaux et des rédibermarins sont obtenues à partir des observations faites sur les poissons capturés, remis à l'eau, échantillonnés dans la passe migratoire ou trouvés morts. Les caractéristiques moyennes des saumons sont utilisées dans le calcul, plutôt que les valeurs annuelles, puisque le faible

nombre de saumons échantillonnés certaines années entraînerait des biais importants. Le poids moyen et la proportion de femelles utilisés chez les madeleineaux et les rédibermarins sont une moyenne pondérée depuis 1992, année à partir de laquelle des changements ont été notés dans les caractéristiques des saumons. Le calcul du nombre d'œufs déposés tient compte du nombre de géniteurs, de la proportion de femelles, du poids moyen et de la valeur standard d'œufs par kilogramme, à la fois pour les madeleineaux et les rédibermarins. Depuis 2012, les valeurs standards de fécondité relative ont été révisées à 2 025 œufs/kg pour les madeleineaux et à 1 745 œufs/kg pour les rédibermarins (Leclerc, 2015).

Selon ces calculs, les géniteurs de la rivière Saint-Jean, au nombre de 212 madeleineaux et de 392 rédibermarins (3 et 275 femelles, respectivement), ont déposé 2,28 millions d'œufs lors du frai, ce qui est légèrement supérieur au seuil de conservation optimal et positionne la rivière dans la zone saine de gestion (tableau VII). Dans la rivière de la Trinité, les 158 madeleineaux et les 80 rédibermarins (19 et 73 femelles, respectivement) ont déposé 0,66 million d'œufs, soit 40 % du seuil de conservation optimal (tableau VIII). Bien qu'il s'agisse de la plus faible montaison observée depuis le début du suivi sur la rivière de la Trinité, la déposition d'œufs atteint 109 % du seuil de conservation démographique. Sur le plan historique, la déposition d'œufs dans la rivière Saint-Jean est restée stable, mais est légèrement à la baisse dans la rivière de la Trinité (Saint-Jean :  $r^2 = 0,01$ ,  $p = 0,54$ ; de la Trinité :  $r^2 = 0,2$ ,  $p = 0,004$ ).

## Taux de survie en rivière et taux de retour de la mer

### *Survie en rivière, de l'œuf au smolt*

Sur le plan historique, le taux de survie en rivière, de l'œuf au smolt, a diminué avec le temps dans les rivières Saint-Jean et de la Trinité (Saint-Jean :  $r^2 = 0,44$ ,  $p = 0,0004$ ; de la Trinité :  $r^2 = 0,14$ ,  $p = 0,03$ ; figure 16). Le taux de survie moyen observé en rivière, de l'œuf au smolt, est de 2,35 % (de 0,77 % à 4,85 %) dans la rivière Saint-Jean et de 2,25 % (de 1,20 % à 4,82 %) dans la rivière de la Trinité (tableau XVI, figure 16). Pour la rivière Saint-Jean, le taux de survie en rivière de la dernière cohorte disponible, soit celle de 2012, est de 1,66 %, alors que pour la rivière de la Trinité, il est de 2,03 %. Notons que l'on utilise 2,50 % comme taux de survie normalisé en rivière, ce qui est près des moyennes historiques, mais est plus élevé que les taux de survie moyens observés dernièrement dans les rivières témoins (Caron et Le Bel, 1991).

### *Taux de retour de la mer, du smolt à l'adulte*

L'évolution historique des taux de retour de la mer, du smolt à l'adulte, à la suite de la période d'alimentation en mer, varie selon la population. Le taux de retour de la mer pour l'ensemble des adultes a fluctué dans le temps, mais la tendance est demeurée stable pour la rivière Saint-Jean ( $r^2 = 0,13$ ,  $p = 0,08$ ), alors qu'une diminution significative a été observée dans le temps pour la rivière de la Trinité ( $r^2 = 0,30$ ,  $p = 0,001$ ). Lorsque les madeleineaux et les rédibermarins sont analysés séparément, le taux de retour, du smolt à l'adulte, montre une diminution dans le temps chez les madeleineaux de la rivière Saint-Jean ( $r^2 = 0,16$ ,  $p = 0,04$ ) et de la Trinité ( $r^2 = 0,18$ ,  $p = 0,01$ ). Chez les rédibermarins, le taux de retour demeure stable dans le temps pour la population de la rivière Saint-Jean ( $r^2 = 0,04$ ,  $p = 0,32$ ), alors qu'il diminue significativement pour la rivière de la Trinité ( $r^2 = 0,49$ ,  $p < 0,0001$ ; figure 17). Le taux de retour de la dernière cohorte disponible de smolts partis en migration

de la rivière Saint-Jean, soit celle de 2014, a été de 2,07 % (madeleineaux : 0,89 %; dibermarins : 1,18 %, tableau XVII), ce qui est largement supérieur à la moyenne historique observée à 1,40 %. Pour la rivière de la Trinité, le taux de retour, du smolt à l'adulte, de la cohorte de 2016 est de 0,67 % (madeleineaux : 0,50 %; dibermarins : 0,17 %), ce qui est inférieur à la moyenne historique de 2,14 % (tableau XVII, figure 17).

## Discussion

Le suivi des deux populations témoins de saumon atlantique dans la rivière Saint-Jean, en Gaspésie, et dans la rivière de la Trinité, sur la Côte-Nord, permet d'observer dans le temps des populations modèles faisant face aux changements environnementaux dans des régions naturelles où les influences humaines sont limitées. De façon générale, une diminution de l'abondance de smolts ainsi que d'adultes (madeleineaux et rédibermarins) est observée depuis les années 1980 dans les deux rivières, à l'exception des madeleineaux dans la rivière Saint-Jean, dont le nombre est demeuré stable.

Le taux de survie en rivière, de l'œuf au smolt, diminue avec le temps dans les deux rivières témoins. Ce résultat suggère que des changements dans les facteurs biotiques ou abiotiques en rivière, comme des crues importantes, pourraient avoir influencé défavorablement la survie des juvéniles depuis les dernières années. En ce qui concerne la phase de vie en mer, une diminution du taux de retour, du smolt à l'adulte, n'est observée que pour la population de la rivière de la Trinité, pour laquelle nous possédons la plus longue série de données, la rivière Saint-Jean montrant une stabilité temporelle dans les taux de retour, malgré de nombreuses fluctuations dans le temps. Cette différence dans les tendances historiques de taux de retour de la mer entre les deux rivières témoins suggère que les saumons de la rivière de la Trinité pourraient être plus influencés par les changements de conditions biotiques et abiotiques en mer que ceux de la rivière Saint-Jean. Par ailleurs, l'habitat marin des post-smolts pourrait être différent pour ces deux populations et comporter des caractéristiques et des changements environnementaux distincts (Lefèvre et coll., 2012; Bourret et coll., 2014).

L'ensemble des données collectées grâce au suivi des deux rivières témoins de saumon atlantique au Québec indique que chaque rivière possède sa propre dynamique de population et que chaque population peut être touchée de façon différente par les changements environnementaux. Tout de même, ces rivières présentent des populations modèles pour leurs régions respectives, régions ayant des caractéristiques génétiques distinctes tant sur le plan du génome des individus en général que sur celui de certains gènes du système immunitaire impliqués dans l'adaptation locale (Dionne et coll., 2007; Dionne et coll., 2008; Bourret et coll., 2013). Ces suivis permettent donc d'obtenir des données historiques fiables sur des populations modèles appartenant à deux régions géographiques et génétiques distinctes pouvant être comparées aux autres populations subissant les effets d'activités humaines importantes dans ces mêmes régions, tel le développement hydroélectrique.

## Conclusion

Au Québec, certaines populations de saumon atlantique se portent suffisamment bien pour offrir une pêche récréative de grande qualité et d'autres sont dans un état préoccupant. Dans ce contexte, une gestion efficace des stocks doit être appuyée par une bonne connaissance de l'évolution des caractéristiques biologiques des populations, d'où l'importance du suivi effectué dans les rivières témoins.

En plus d'être nécessaires à l'accomplissement de la mission du ministère des Forêts, de la Faune et des Parcs, les données historiques tirées de ces rivières ont été utilisées à diverses fins au cours des dernières années. Les retombées indirectes de ces suivis incluent l'établissement des points de références biologiques associés à chacune des rivières à saumon du Québec et utilisés pour la gestion de la pêche (Dionne et coll., 2015). Ces données ont également permis la réalisation des premières étapes de développement d'analyses de viabilité de population (AVP) permettant de prédire l'abondance et la condition des populations à plus long terme ainsi que leur probabilité de persistance (Palstra et Dionne, 2011). De plus, de nombreux projets de recherche ont été greffés ou ont utilisés les données associées au suivi des rivières témoins au cours des dernières années. Par exemple, l'étude de la variation de la niche trophique des saumons juvéniles par l'analyse des isotopes stables (Dixon et coll., 2012) ; l'impact des changements climatiques sur la migration et la croissance des saumons juvéniles (Otero et coll., 2014) ; la détermination des composantes génétiques et héréditaires de la durée de migration en mer (Bourret et coll., 2014) ; et la biogéographie du microbiome chez le saumon atlantique (Llewellyn et coll., 2015). Finalement, l'ajout d'un suivi de nature comparable sur la rivière du Vieux-Fort, localisée dans la région de la Basse-Côte-Nord et hébergeant une population de saumon aux caractéristiques particulières, permet de mettre davantage en valeur le suivi des rivières Saint-Jean et de la Trinité en offrant de nouvelles possibilités d'analyses. La popularité des données tirées de ces suivis à des fins de recherche ou de gestion démontre que les travaux réalisés sur les rivières Saint-Jean et de la Trinité sont d'une immense utilité pour repousser les limites des connaissances scientifiques sur l'espèce.

## Glossaire

<i>Alevin</i>	Juvenile dans sa première année de vie qui n'a pas encore développé les marques caractéristiques des tacons. Par extension, on attribue ce nom à tous les juvéniles d'âge 0+.
<i>Tacon ou juvénile</i>	Jeune saumon qui est toujours demeuré en rivière depuis sa naissance. Lorsqu'on veut préciser l'âge, on utilise tacon 0+, tacon 1+, tacon 2+, etc., pour désigner des poissons à leur première, deuxième, troisième année de vie.
<i>Tacon précoce</i>	Poisson qui a participé au frai lorsqu'il était au stade de tacon (habituellement un mâle).
<i>Smolt ou saumoneau</i>	Saumon juvénile qui amorce sa première migration vers la mer. Le terme « smolt » désigne aussi d'autres salmonidés anadromes qui entreprennent leur première migration en mer.
<i>Smolt post précoce</i>	Smolt qui a frayé comme tacon précoce.
<i>Madeleineau</i>	Saumon qui revient en rivière pour frayer la première fois, après avoir passé un seul hiver en mer.
<i>Dibermarin</i>	Saumon qui revient en rivière pour frayer la première fois, après avoir passé deux hivers consécutifs en mer.
<i>Tribermarin</i>	Saumon qui revient en rivière pour frayer la première fois, après avoir passé trois hivers consécutifs en mer.
<i>Saumon à frai antérieur</i>	Saumon qui a déjà frayé au cours des années antérieures.
<i>Rédibermarin ou grand saumon</i>	Saumon qui a passé plus d'un hiver en mer. Ce terme englobe tous les grands saumons et exclut donc les madeleineaux.
<i>Reproducteur ou géniteur</i>	Saumon adulte revenu à la rivière et présent au moment du frai.
<i>Saumon noir</i>	Saumon adulte en dévalaison printanière.
<i>Unité de production</i>	Unité de mesure pour quantifier l'habitat des juvéniles.

## Liste des références

- BEVERTON, R. J. H. et S. J. HOLT (1957). *On the dynamics of exploited fish populations*, Londres, Chapman & Hall, Fish and Fisheries Series, vol. 11.
- BICKHAM, J. W., S. SANDHU, P. D. N. HEBERT, L. CHIKHI et R. ATHWAL (2000). "Effects of contaminants on genetic diversity in natural populations: implications for biomonitoring and ecotoxicology", *Mutation Research*, vol. 463, p. 33-51.
- BOURRET, V., M. DIONNE et L. BERNATCHEZ (2014). "Detecting genotypic changes associated with selective mortality at sea in Atlantic salmon: polygenic multilocus analysis surpasses genome scan", *Molecular Ecology*, vol. 23, p. 4444-4457.
- BOURRET, V., M. DIONNE, M. P. KENT, L. SIGBJORN et L. BERNATCHEZ (2013). "Landscape genomics in Atlantic salmon (*salmo salar*): searching for gene-environment interactions driving local adaptation", *Evolution*, vol. 67, no 12, p. 3469-3487.
- CARON, F. (1990). « Calculs relatifs à la détermination du nombre de reproducteurs requis », dans N. Samson et J.-P. Le Bel (éd.), *Compte rendu de l'atelier sur le nombre de reproducteurs requis dans les rivières à saumon, Île-aux-Coudres, février 1988*, Ministère du Loisir, de la Chasse et de la Pêche, Direction de la gestion des espèces et des habitats, p. 213-218.
- CARON, F. et J.-P. LE BEL (éd.) (1991). *Normes biologiques applicables dans le cadre du programme de développement économique du saumon*, Québec, Ministère du Loisir, de la Chasse et de la Pêche, Direction de la gestion des espèces et des habitats, Service de la faune aquatique, 58 p.
- CARON, F., P.-M. FONTAINE et S.-É. PICARD (1999). *Seuil de conservation et cible de gestion pour les rivières à saumon (Salmo salar) du Québec*, Québec, Société de la faune et des parcs du Québec, Direction de la faune et des habitats, 48 p.
- CHAPMAN, D. G. (1951). *Some properties of the hypergeometric distribution with applications to zoological sample censuses*, Berkeley, University of California Press (University of California publications in statistics, vol. 1).
- CIEM (2017). *Report of the Working Group on North Atlantic Salmon (WGNAS), 29 March-7 April 2017*, Copenhagen, Danemark, ICES CM 2017/ACOM:20, 296 p.
- CONOVER, D. O., S. B. MUNCH et S. A. ARNOTT (2009). "Reversal of evolutionary downsizing caused by selective harvest of large fish", *Proceedings of the Royal Society B: Biological Sciences*, vol. 276, n° 1664, p. 2015-2020.
- CONOVER, D. O. et S. B. MUNCH (2002). "Sustaining fisheries yields over evolutionary time scales", *Science*, vol. 297, n° 5578, p. 94-96.
- COMITÉ SUR LA SITUATION DES ESPÈCES EN PÉRIL DU CANADA (COSEPA) (2011). [www.cosewic.gc.ca](http://www.cosewic.gc.ca).

- DFO (2008). *NuSEDS, V. 2.0, Regional adult salmon escapement database 1950-2005*, British Columbia, Pêches et Océans Canada, La station biologique du Pacifique.
- DIONNE, M., G. DAUPHIN, G. CHAPUT et E. PRÉVOST (2015). *Actualisation du modèle stock-recrutement pour la conservation et la gestion des populations de saumon atlantique du Québec*, Ministère des Forêts, de la Faune et des Parcs du Québec, Direction générale de la gestion de la faune et des habitats, Direction de l'expertise sur la faune aquatique, 66 p.
- DIONNE, M., K. M. MILLER, J. J. DODSON, F. CARON et L. BERNATCHEZ (2007). "Clinal variation in MHC diversity with temperature: evidence for the role of host-pathogen interaction on local adaptation in Atlantic salmon", *Evolution*, vol. 61, p. 2154-2164.
- DIONNE, M., F. CARON, J. J. DODSON et L. BERNATCHEZ (2008). "Landscape genetics and hierarchical genetic structure in Atlantic salmon: the interaction of gene flow and local adaptation", *Molecular Ecology*, vol. 17, p. 2382-2396.
- DIXON, H. J., M. POWER, J. B. DEMPSON, T. F. SHEEHAN ET G. CHAPUT (2012) "Characterizing the trophic position shift in Atlantic salmon (*Salmo salar*) from freshwater to marine life-cycle phases using stable isotopes", *ICES Journal of Marine Science*, doi:10.1093/icesjms/fss122.
- GIBSON, A. J. F., H. D. BOWLBY, J. R. BRYAN et P. G. AMIRO (2008). *Population Viability Analyses of Inner Bay of Fundy Atlantic Salmon with and without Live Gene Banking*, Ottawa, Canadian Science Advisory Secretariat, Pêches et Océans Canada, Document de recherche n° 2008/057.
- GRANT, S. C. H., S. M. KALYN, J. E. MAHONEY et J. A. TADEY (2007). *Coho (Oncorhynchus kisutch) and Chum (O. keta) salmon visual enumeration surveys in twenty-six lower Fraser area streams: 1999-2005*, Ottawa, Pêches et Océans Canada, VI + 154 p. (Canadian Technical Report of Fisheries and Aquatic Sciences, vol. 2727).
- GURNEY, W. S. C., P. J. BACON, G. TYLDESLEY et A. F. YOUNGSON (2008). "Process-based modelling of decadal trends in growth, survival, and smolting of wild salmon (*Salmo salar*) parr in a Scottish upland stream", *Canadian Journal of Fisheries and Aquatic Sciences*, vol. 65, p. 2606-2622.
- HOFFMANN, A. A. et Y. WILLI (2008). "Detecting genetic responses to environmental change", *Nature Reviews in Genetics*, vol. 9, p. 421-432.
- LECLERC, V. (2015). *Révision des valeurs standards de fécondité relative utilisées au Québec pour le saumon atlantique (salmo salar)*, Ministère des Forêts, de la Faune et des Parcs, Direction de la faune aquatique, 10 p.
- LEFEVRE, M. A., M. J. W. STOKESBURY, F. G. WHORISKEY et M. J. DADSWELL (2012). "Atlantic salmon post-smolt migration routes in the Gulf of St. Lawrence", *ICES Journal of Marine Science*, vol. 69(6), p. 981-990.

- LEGAULT, C. M. (2005). "Population Viability Analysis of Atlantic salmon in Maine, USA", *Transactions of the American Fisheries Society*, vol. 134, p. 549-562.
- LLEWELLYN, M. S., P. MCGINNITY, M. DIONNE, J. LETOURNEAU, F. THONIER, G. R. CARVALHO, S. CREER et N. DEROME (2015). "The biogeography of the atlantic salmon (*Salmo salar*) gut microbiome" *International Society for Microbial Ecology*, vol. 10, p.1280-1284.
- MILLER, K. P. et E. R. VINCENT (2008). "Rapid natural selection for resistance to an introduced parasite of rainbow trout", *Evolutionary Applications*, vol. 1, p. 336-341.
- MINISTÈRE DES FORÊTS, DE LA FAUNE ET DES PARCS (2017). *Bilan de l'exploitation du saumon au Québec en 2016*, Ministère des Forêts, de la Faune et des Parcs, Secteur de la faune, 299 p.
- OTERO, J., J. H. L'ABEE-LUND, T. CASTRO-SANTOS, K. LEONARDSSON, G. O. STORVIK, B. JONSSON, B. DEMPSON, I. C. RUSSELL, A. J. JENSEN, J.-L. BAGLINIERE, M. DIONNE, J. D. ARMSTRONG, A. ROMAKKANIEMI, B. H. LETCHER, J. F. KOCIK, J. ERKINARO, R. POOLE, G. ROGAN, H. LUNDQVIST, J. C. MACLEAN, E. JOKIKOKKO, J. V. ARNEKLEIV, R. J. KENNEDY, E. NIEMELA, P. CABALLERO, P. A. MUSIC, T. ANTONSSON, S. GUDJONSSON, A. E. VESELOV, A. LAMBERG, S. GROOM, B. H. TAYLOR, M. TABERNER, M. DILLANE, F. ARNASON, G. HORTON, N. A. HVIDSTEN, I. R. JONSSON, N. JONSSON, S. MCKELVEY, T. F. NÆSJE, Ø. SKAALA, G. W. SMITH, H. SÆGROV, N. C. STENSETH et L. A. VØLLESTAD (2014). "Basin-scale phenology and effects of climate variability on global timing of initial seaward migration of Atlantic salmon (*salmo salar*)", *Global change biology*, vol. 20, p. 61-75.
- PALSTRA, F. et M. DIONNE (2011). *Population Viability Analysis of Atlantic Salmon Populations (Salmo salar) in Québec*, Québec, Ministère des Ressources naturelles et de la Faune, Direction de l'expertise sur la faune et ses habitats, Service de la faune aquatique, 95 p.
- PARRISH, D. L., R. J. BEHNKE, S. R. GEPHARD, S. D. McCORMICK et G. H. REEVES (1998). "Why aren't there more Atlantic salmon (*Salmo salar*)?", *Canadian Journal of Fisheries and Aquatic Sciences*, vol. 55, p. 281-287.
- RICKER, W. E. (1954). "Stock and recruitment", *Journal of the Fisheries Research Board of Canada*, vol. 11, p. 559-623.
- RICKER, W. E. (1980). « Calcul et interprétation des statistiques biologiques des populations de poissons », *Bulletin of Fisheries Research Board of Canada*, n° 191F, 409 p.
- SCHWARTZ, M. K., G. LUIKART et R. S. WAPLES (2006). "Genetic monitoring as a promising tool for conservation and management", *Trends in Ecology and Evolution*, vol. 22, p. 25-33.
- SHRIMPTON, J. M. et D. D. HEATH (2003). "Census vs. effective population size in chinook salmon: large- and small-scale environmental perturbation effects", *Molecular Ecology*, vol. 12, p. 2571-2583.

THOMPSON, D. A. W. (1942). *On growth and form*, Cambridge, Cambridge University Press.

WWF (2001). *Report on the status of Atlantic salmon: a river by river assessment*, Washington DC, Marine conservation program [[http://wwf.panda.org/about\\_our\\_earth/blue\\_planet/publications/?3729/The-Status-of-Wild-Atlantic-Salmon-A-River-by-River-Assessment](http://wwf.panda.org/about_our_earth/blue_planet/publications/?3729/The-Status-of-Wild-Atlantic-Salmon-A-River-by-River-Assessment)].

## Tableaux

Tableau I. Captures de smolts en dévalaison printanière dans la rivière Saint-Jean en 2018

Date	Zone de capture				Zone de recapture				Marqués %
	Capturés		Marqués (M)		Capturés (C)		Recapturés (R)		
	Nombre	Cumul.	Nombre	Cumul.	Nombre	Cumul.	Nombre	Cumul.	
05-20			21	21	<i>21</i>		<i>0</i>		
05-21			13	34	16	16	0	0	0,0
05-22			21	55	23	39	1	1	4,3
05-23	39	39	39	94	7	46	0	1	0,0
05-24	17	56	17	111	1	47	0	1	0,0
05-25	38	94	38	149	31	78	0	1	0,0
05-26	48	142	47	196	16	94	0	1	0,0
05-27	37	179	37	233	20	114	0	1	0,0
05-28	246	425	246	479	37	151	2	3	5,4
05-29	242	667	241	720	155	306	11	14	7,1
05-30	241	908	241	961	225	531	13	27	5,8
05-31	402	1 310	399	1 360	455	986	12	39	2,6
06-01	881	2 191	878	2 238	853	1 839	74	113	8,7
06-02	726	2 917	726	2 964	709	2 548	122	235	17,2
06-03	199	3 116	199	3 163	400	2 948	77	312	19,3
06-04	194	3 310	194	3 357	364	3 312	46	358	12,6
06-05	75	3 385	75	3 432	237	3 549	40	398	16,9
06-06	154	3 539	152	3 584	68	3 617	10	408	14,7
06-07	282	3 821	282	3 866	223	3 840	34	442	15,2
06-08	328	4 149	328	4 194	262	4 102	43	485	16,4
06-09	242	4 391	240	4 434	334	4 436	80	565	24,0
06-10	162	4 553	162	4 596	170	4 606	28	593	16,5
06-11	147	4 700	147	4 743	97	4 703	30	623	30,9
06-12	132	4 832	132	4 875	107	4 810	35	658	32,7
06-13	60	4 892	60	4 935	92	4 902	14	672	15,2
06-14	75	4 967	75	5 010	118	5 020	16	688	13,6
06-15	15	4 982	15	5 025	98	5 118	14	702	14,3
06-16	91	5 073	91	5 116	62	5 180	2	704	3,2
06-17	38	5 111	38	5 154	83	5 263	15	719	18,1
06-18	4	5 115	30	5 184	38	5 301	7	726	18,4
06-19	3	5 118	41	5 225	43	5 344	5	731	11,6
06-20	5	5 123	25	5 250	25	5 369	5	736	20,0
06-21	2	5 125	13	5 263	24	5 393	13	749	54,2
06-22	4	5 129	22	5 285	20	5 413	1	750	5,0
06-23			15	5 300	18	5 431	3	753	16,7
06-24			<i>0</i>		9	5 440	1	754	11,1
<b>Total</b>		<b>5 129</b>		<b>5 300</b>		<b>5 440</b>		<b>754</b>	<b>13,9</b>

**Évaluation :**

M	C	R	N min.	N	N max.
5 300	5 440	754	35 574	<b>38 202</b>	41 024

Mortalité et échantillons, zone de capture : 12 Smolts produits Smolts partis en mer

Mortalité et échantillons, zone de recapture : 153 38 214 38 049

Remarques : Les données en italique ne font pas partie de l'évaluation, car les smolts prennent en moyenne une journée pour atteindre la zone de recapture.

Du 20 au 22 mai, les smolts marqués sont ceux capturés dans la zone de recapture qui ont été transportés et relâchés dans la zone de capture.

À partir du 18 juin, les smolts marqués proviennent en partie de la zone de capture et de la zone de recapture.

Tableau II. Captures de smolts en dévalaison printanière dans la rivière de la Trinité en 2018

Date	Zone de capture				Zone de recapture				Marqués %
	Capturés		Marqués (M)		Capturés (C)		Recapturés (R)		
	Nombre	Cumul.	Nombre	Cumul.	Nombre	Cumul.	Nombre	Cumul.	
05-26					0		0		
05-27	1	1	1	1	0		0		
05-28	3	4	3	4	1	1	0	0	0,0
05-29	0	4	0	4	0	1	0	0	
05-30	7	11	7	11	8	9	0	0	0,0
05-31	8	19	8	19	7	16	0	0	0,0
06-01	29	48	29	48	14	30	1	1	7,1
06-02	36	84	36	84	25	55	0	1	0,0
06-03	36	120	36	120	19	74	0	1	0,0
06-04	13	133	12	132	14	88	1	2	7,1
06-05	10	143	10	142	2	90	0	2	0,0
06-06	8	151	8	150	4	94	0	2	0,0
06-07	37	188	37	187	23	117	1	3	4,3
06-08	81	269	81	268	35	152	1	4	2,9
06-09	199	468	199	467	121	273	6	10	5,0
06-10	95	563	95	562	58	331	7	17	12,1
06-11	91	654	91	653	95	426	9	26	9,5
06-12	201	855	201	854	150	576	6	32	4,0
06-13	163	1 018	163	1 017	124	700	12	44	9,7
06-14	266	1 284	265	1 282	218	918	19	63	8,7
06-15	260	1 544	259	1 541	178	1 096	24	87	13,5
06-16	330	1 874	330	1 871	145	1 241	17	104	11,7
06-17	285	2 159	285	2 156	318	1 559	24	128	7,5
06-18	103	2 262	103	2 259	105	1 664	14	142	13,3
06-19	242	2 504	242	2 501	176	1 840	26	168	14,8
06-20	326	2 830	325	2 826	238	2 078	29	197	12,2
06-21	277	3 107	277	3 103	239	2 317	34	231	14,2
06-22	131	3 238	130	3 233	146	2 463	25	256	17,1
06-23	95	3 333	95	3 328	104	2 567	16	272	15,4
06-24	105	3 438	105	3 433	97	2 664	7	279	7,2
06-25	77	3 515	77	3 510	94	2 758	9	288	9,6
06-26	81	3 596	81	3 591	47	2 805	6	294	12,8
06-27	28	3 624	28	3 619	40	2 845	0	294	0,0
06-28	11	3 635	11	3 630	18	2 863	2	296	11,1
06-29	3	3 638	3	3 633	9	2 872	1	297	11,1
06-30	0	3 638	0	3 633	17	2 889	1	298	5,9
07-01	6	3 644	6	3 639	16	2 905	0	298	0,0
07-02	2	3 646	2	3 641	6	2 911	0	298	0,0
07-03	2	3 648	2	3 643	1	2 912	0	298	0,0
07-04	3		3		1	2 913	0	298	0,0
<b>Total</b>		<b>3 648</b>		<b>3 643</b>		<b>2 913</b>		<b>298</b>	<b>10,2</b>

**Évaluation :**

<b>M</b>	<b>C</b>	<b>R</b>	<b>N min.</b>	<b>N</b>	<b>N max.</b>
3 643	2 913	298	31 715	35 514	39 766

Mortalité et échantillons, zone de capture : 5 Smolts produits Smolts partis en mer

Mortalité et échantillons, zone de recapture : 150 35 519 35 364

Remarques : Les données en italique ne font pas partie de l'évaluation, car les smolts prennent en moyenne 1,5 jour pour atteindre la zone de recapture.

Tableau III. Caractéristiques des smolts dans la rivière Saint-Jean en 2018

	2 ans			3 ans			4 ans			5 ans			Tous		
	Mâles	Femelles	Tous												
<b>Nombre</b>	1	1	2	25	68	93	21	35	56	1	1	2	48	105	153
<b>Proportion</b>	50 %	50 %	1 %	27 %	73 %	61 %	38 %	63 %	37 %	50 %	50 %	1 %	31 %	69 %	100 %
<b>Âge à la smoltification</b>													3,46	3,34	3,38
<b>Poids (g)</b>															
Moyenne	9,7	14,5	12,1	13,5	13,7	13,6	15,4	16,3	15,9	19,8	18,2	19,0	14,4	14,6	14,5
Minimum	9,7	14,5	9,7	8,0	6,5	6,5	10,2	10,6	10,2	19,8	18,2	18,2	8,0	6,5	6,5
Maximum	9,7	14,5	14,5	21,3	22,5	22,5	28,3	26,9	28,3	19,8	18,2	19,8	28,3	26,9	28,3
Écart-type			3,4	3,1	3,2	3,2	3,8	4,1	4,0			1,1	3,6	3,7	3,7
<b>Longueur totale (mm)</b>															
Moyenne	118	130	124	128	127	128	132	135	134	138	140	139	130	130	130
Minimum	118	130	118	106	101	101	117	116	116	138	140	138	106	101	101
Maximum	118	130	130	152	151	152	157	162	162	138	140	140	157	162	162
Écart-type			8,5	10,5	9,5	9,7	8,9	10,9	10,2			1,4	9,9	10,5	10,3
<b>Longueur à la fourche (mm)</b>															
Moyenne	109	119	114	118	118	118	122	125	124	127	129	128	120	120	120
Minimum	109	119	109	98	101	98	109	110	109	127	129	127	98	101	98
Maximum	109	119	119	141	139	141	146	149	149	127	129	129	146	149	149
Écart-type			7,1	10,0	8,4	8,8	8,5	10,1	9,5			1,4	9,5	9,5	9,5
<b>Facteur de condition de Fulton</b>															
Moyenne	0,75	0,86	0,80	0,82	0,84	0,83	0,84	0,83	0,83	0,97	0,85	0,91	0,83	0,83	0,83
Minimum	0,75	0,86	0,75	0,65	0,72	0,65	0,74	0,67	0,67	0,97	0,85	0,85	0,65	0,67	0,65
Maximum	0,75	0,86	0,86	0,89	0,96	0,96	0,94	0,90	0,94	0,97	0,85	0,97	0,97	0,96	0,97
Écart-type			0,08	0,05	0,05	0,05	0,05	0,04	0,04			0,08	0,06	0,04	0,05

Tableau IV. Caractéristiques des smolts dans la rivière de la Trinité en 2018

	2 ans			3 ans			4 ans			Tous		
	Mâles	Femelles	Tous	Mâles	Femelles	Tous	Mâles	Femelles	Tous	Mâles	Femelles	Tous
<b>Nombre</b>	12	32	44	30	49	79	10	5	15	52	86	138
<b>Proportion</b>	27 %	73 %	<b>32 %</b>	38 %	62 %	<b>57 %</b>	67 %	33 %	<b>11 %</b>	38 %	62 %	<b>100 %</b>
<b>Âge à la smoltification</b>										<b>2,96</b>	<b>2,69</b>	<b>2,79</b>
<b>Poids (g)</b>												
Moyenne	21,3	15,3	17,0	19,8	22,4	21,4	28,3	23,2	26,6	21,8	19,8	20,6
Minimum	11,0	8,6	8,6	10,2	10,4	10,2	19,7	16,2	16,2	10,2	8,6	8,6
Maximum	39,4	22,4	39,4	36,2	33,4	36,2	45,2	30,6	45,2	45,2	33,4	45,2
Écart-type	10,6	3,5	6,7	5,1	4,8	5,0	8,5	5,2	7,8	7,9	5,5	6,6
<b>Longueur totale (mm)</b>												
Moyenne	140	129	132	140	145	143	156	145	152	143	139	140
Minimum	116	107	107	114	117	114	134	129	129	114	107	107
Maximum	174	148	174	160	168	168	176	164	176	176	168	176
Écart-type	23,3	10,0	15,4	10,6	10,9	11,0	13,5	12,7	13,9	16,0	13,3	14,5
<b>Longueur à la fourche (mm)</b>												
Moyenne	130	118	122	131	135	133	146	135	143	133	129	131
Minimum	106	99	99	105	106	105	127	120	120	105	99	99
Maximum	163	137	163	154	158	158	164	154	164	164	158	164
Écart-type	22,3	9,5	14,8	10,3	10,6	10,6	12,1	12,5	12,9	15,2	13,0	14,0
<b>Facteur de condition de Fulton</b>												
Moyenne	0,92	0,91	0,91	0,87	0,90	0,89	0,88	0,93	0,90	0,88	0,91	0,90
Minimum	0,82	0,80	0,80	0,73	0,81	0,73	0,79	0,84	0,79	0,73	0,80	0,73
Maximum	1,09	1,06	1,09	0,99	1,04	1,04	1,02	0,99	1,02	1,09	1,06	1,09
Écart-type	0,07	0,07	0,07	0,06	0,06	0,06	0,08	0,06	0,07	0,07	0,06	0,06



Tableau VI. Caractéristiques des ombles chevaliers échantillonnés en dévalaison dans la rivière de la Trinité de 1998 à 2018

Année	Échantillon			Femelles (%)	LT x (mm)			LF x (mm)			Poids x (g)			K x			Âge (an) %				
	Mâles	Femelles	Tous		Mâles	Femelles	Tous	Mâles	Femelles	Tous	Mâles	Femelles	Tous	Mâles	Femelles	Tous	3	4	5	6	7
1998	3	14	17	82,4	220	207	209	205	192	194	80,6	65,9	68,5	0,81	0,84	0,84	0	47	35	18	0
1999	3	12	20	60,0				174	214	198	44,7	116,3	88,0	0,84	0,88	0,87	20	30	40	10	0
2000	6	10	16	62,5				185	183	184	55,9	51,2	53,0	0,88	0,84	0,85	6	81	13	0	0
2001	6	14	20	70,0				211	198	202	78,7	64,7	68,9	0,79	0,79	0,79	0	90	10	0	0
2002	9	11	20	55,0	204	208	206	189	194	192	53,7	60,5	57,5	0,79	0,77	0,78	5	74	11	11	0
2003	7	15	22	68,2	214	211	212	200	198	198	64,3	63,8	64,0	0,78	0,77	0,77	45	36	18	0	0
2004	2	13	15	86,7	213	199	201	195	185	187	61,5	48,6	50,3	0,83	0,75	0,76	13	60	27	0	0
2005	7	13	20	65,0	196	245	228	182	229	213	46,8	114,3	90,7	0,78	0,75	0,76	0	60	25	10	5
2006	9	10	19	52,6	189	192	191	176	178	177	41,6	45,6	43,7	0,76	0,75	0,75	6	81	6	6	0
2007	3	17	20	85,0	207	211	211	192	197	196	54,5	61,1	60,1	0,77	0,75	0,75	11	44	44	0	0
2008	9	11	20	55,0	213	195	203	198	180	188	60,0	45,0	51,7	0,75	0,77	0,76	20	60	20	0	0
2009	11	9	20	45,0	210	234	221	196	218	206	66,6	96,0	79,8	0,79	0,77	0,78					
2010	8	12	20	60,0	251	265	259	233	245	240	104,7	139,1	125,4	0,79	0,79	0,79					
2011	9	11	20	55,0	210	234	223	195	217	207	59,4	90,2	76,4	0,79	0,78	0,79					
2012	10	10	20	50,0	169	203	187	157	189	174	14,1	41,3	27,3	0,79	0,77	0,78					
2013	8	12	20	60,0	216	229	224	201	212	208	62,0	78,8	72,1	0,75	0,79	0,78					
2014	11	9	20	45,0	192	191	191	177	176	177	44,6	43,5	44,1	0,78	0,77	0,78					
2015	6	13	20	65,0	196	205	202	180	189	186	48,0	55,0	52,8	0,81	0,80	0,80					
2016	11	9	20	45,0	231	245	237	213	227	220	84,1	97,5	90,2	0,84	0,80	0,82					
2017	6	4	10	40,0	264	245	256	246	232	240	131,5	104,3	120,6	0,82	0,80	0,81					
2018	3	7	10	70,0	301	280	286	280	262	267	193,3	156,6	167,6	0,80	0,81	0,81					
	Minimum				265	235	235	245	215	215	120,0	77,2	77,2	0,72	0,78	0,72					
	Maximum				363	356	363	339	340	340	340,0	320,0	340,0	0,87	0,89	0,89					
	Écart-type				54,2	42,4	44,2	51,6	43,5	43,9	127,0	82,3	91,7	0,08	0,04	0,05					
<b>Total</b>	<b>147</b>	<b>236</b>	<b>389</b>																		
<b>Moyenne</b>				<b>60,7</b>	<b>212</b>	<b>220</b>	<b>217</b>	<b>196</b>	<b>203</b>	<b>200</b>	<b>64,4</b>	<b>75,6</b>	<b>70,9</b>	<b>0,79</b>	<b>0,79</b>	<b>0,79</b>	<b>12</b>	<b>60</b>	<b>23</b>	<b>5</b>	<b>0</b>

Notes : LT = Longueur totale LF = Longueur à la fourche

K = Facteur de condition de Fulton [100 000 \* poids (g) / longueur à la fourche<sup>3</sup> (mm)] (Thompson, 1942)

Tableau VII. Bilan de l'exploitation des saumons dans la rivière Saint-Jean de 1984 à 2018

Année	Pêche sportive							Retraits divers	Retours à la rivière			Reproduction			Déposition d'œufs	
	Mad.	Réd.	Total	Jours-pêche		Succès ajustés			Mad.	Réd.	Total	Saumons disponibles			Œufs déposés (million)	Atteinte du seuil ou zone
				Succès	Graciés	Mad.	Réd.					Total				
1984	25	345	370	819	0,45		0,45	52	113	1 116	1 229	88	719	807	3,42	182 %
1985	19	322	341	925	0,37		0,37	0	61	795	856	42	473	515	2,25	120 %
1986	70	240	310	854	0,36		0,36	20	155	819	974	85	559	644	2,66	142 %
1987	114	267	381	1 186	0,32		0,32	11	563	1 069	1 632	449	791	1 240	3,78	201 %
1988	150	587	737	1 419	0,52		0,52	27	436	1 937	2 373	280	1 329	1 609	6,33	337 %
1989	107	504	611	2 135	0,29		0,29	24	262	1 375	1 637	139	863	1 002	4,11	219 %
1990	220	254	474	1 717	0,28		0,28	9	512	772	1 284	291	510	801	2,44	130 %
1991	143	507	650	1 504	0,43		0,43	0	437	1 487	1 924	294	980	1 274	4,67	249 %
1992	303	623	926	2 053	0,45		0,45	3	559	1 478	2 037	255	853	1 108	4,38	233 %
1993	320	508	828	1 763	0,47		0,47	6	619	1 102	1 721	295	592	887	3,05	162 %
1994	256	578	834	2 710	0,31		0,31	9	494	1 258	1 752	232	677	909	3,48	185 %
1995	80	420	500	1 998	0,25		0,25	27	245	1 138	1 383	163	693	856	3,56	189 %
1996	152	364	516	1 494	0,35		0,35	20	341	798	1 139	185	418	603	2,15	114 %
1997	129	204	333	1 394	0,24	122	0,33	14	304	598	902	171	384	555	1,98	105 %
1998	171	0	171	1 245	0,14	291	0,37	1	483	431	914	312	430	742	2,22	118 %
1999	92	0	92	1 229	0,07	279	0,30	1	324	736	1 060	232	735	967	3,78	201 %
2000	87	3	90	1 298	0,07	320	0,32	5	370	421	791	283	413	696	2,13	113 %
2001	60	0	60	1 178	0,05	480	0,46	5	268	880	1 148	208	875	1 083	4,49	239 %
2002	168	0	168	1 197	0,14	393	0,47	3	520	686	1 206	352	683	1 035	3,52	187 %
2003	85	0	85	1 294	0,07	599	0,53	4	394	1 013	1 407	307	1 011	1 318	5,19	276 %
2004	106	0	106	1 370	0,08	462	0,41	1	384	677	1 061	277	677	954	3,48	185 %
2005	72	0	72	1 690	0,04	551	0,37	2	366	908	1 274	294	906	1 200	4,65	248 %
2006	104	0	104	1 588	0,07	439	0,34	2	346	758	1 104	242	756	998	3,88	207 %
2007	78	40	118	1 717	0,07	327	0,26	0	275	647	922	197	607	804	3,12	166 %
2008	240	15	255	1 700	0,15	410	0,39	2	599	605	1 204	359	588	947	3,03	161 %
2009	96	3	99	1 695	0,06	409	0,30	109	282	722	1 004	182	614	796	3,15	168 %
2010	138	44	182	1 929	0,09	434	0,32	94	295	898	1 193	143	774	917	3,97	211 %
2011	206	43	249	1 993	0,12	505	0,38	3	343	688	1 031	136	643	779	3,30	175 %
2012	81	2	83	1 909	0,04	349	0,23	1	171	530	701	89	528	617	3,08	164 %
2013	76	49	125	1 798	0,07	378	0,28	28	180	786	966	104	709	813	4,13	220 %
2014	164	0	164	1 773	0,09	247	0,23	6	319	278	597	153	274	427	1,60	85 %
2015	214	50	264	1 863	0,14	511	0,42	9	499	744	1 243	280	690	970	4,04	215 %
2016	80	41	121	1 873	0,06	573	0,37	13	173	662	835	92	609	701	3,53	166 %
2017	50	0	50	1 502	0,03	329	0,25	11	131	554	685	81	543	624	3,15	148 %
<b>2018</b>	<b>61</b>	<b>0</b>	<b>61</b>	<b>1 427</b>	<b>0,04</b>	<b>411</b>	<b>0,33</b>	<b>16</b>	<b>278</b>	<b>403</b>	<b>681</b>	<b>212</b>	<b>392</b>	<b>604</b>	<b>2,28</b>	<b>107 %</b>
<b>Moyenne</b>																
<b>1984-2017</b>	<b>131</b>	<b>177</b>	<b>308</b>	<b>1 583</b>	<b>0,19</b>	<b>400</b>	<b>0,35</b>	<b>15</b>	<b>348</b>	<b>864</b>	<b>1 211</b>	<b>214</b>	<b>674</b>	<b>888</b>	<b>3,46</b>	
<b>2013-2017</b>	<b>117</b>	<b>28</b>	<b>145</b>	<b>1 762</b>	<b>0,08</b>	<b>408</b>	<b>0,31</b>	<b>13</b>	<b>260</b>	<b>605</b>	<b>865</b>	<b>142</b>	<b>565</b>	<b>707</b>	<b>3,29</b>	
Variation																
2018 vs 2017	22 %		22 %	-5 %	28 %	25 %	31 %		112 %	-27 %	-1 %	162 %	-28 %	-3 %	-28 %	
2018 vs 1984-2017	-53 %	-100 %	-80 %	-10 %	-78 %	3 %	-6 %		-20 %	-53 %	-44 %	-1 %	-42 %	-32 %	-34 %	
2018 vs 2013-2017	-48 %	-100 %	-58 %	-19 %	-48 %	1 %	5 %		7 %	-33 %	-21 %	49 %	-31 %	-15 %	-31 %	

Ensemencements : 1984 : S2 16 000 1987 : S2 4 188 1989 : T2 5 487 1990 : S1 7 967 1991 : T1 6 289 1995 : œufs 120 092 1996 : œufs 125 972 1998 : AL 47 000  
1986 : S2 18 741 1987 : S3 60 1989 : S2 36 377 1990 : S2 6 395 1992 : S1 15 020 1996 : AL 84 691 1997 : AL 68 765

Remarques : En 2004, 2 madeleineaux provenant d'ensemencements (selon les écailles) sont inclus dans la pêche sportive.

Retraits divers : inclut les retraits piscicoles, les poissons trouvés morts et, depuis 2015, 7 % de mortalité dans les remises à l'eau.

En 1999, la montaison totale est basée sur les proportions moyennes (1994-1998) de montaison de madeleineaux et de grands saumons après la mi-saison.

Tableau VIII. Bilan de l'exploitation des saumons dans la rivière de la Trinité de 1984 à 2018

Année	Pêche commerciale			Pêche sportive				Retraits divers	Retours à la rivière			Retours totaux	Reproduction			Déposition d'œufs				
	Mad.	Réd.	Total	Mad.	Réd.	Total	Jours-pêche		Succès	Graciés	Mad.		Réd.	Total	Saumons disponibles			Œufs déposés (million)	Atteinte du seuil ou zone	
								Mad.				Réd.			Total					
1984	34	555	589	415	132	547	2 474	0,22		1	1 771	468	2 239	2 828	1 355	336	1 691	2,19	134 %	
1985	40	607	647	162	260	422	2 331	0,18		9	1 053	639	1 692	2 339	889	372	1 261	2,25	138 %	
1986	14	606	620	510	227	737	2 284	0,32		3	1 589	621	2 210	2 830	1 076	394	1 470	2,43	149 %	
1987	48	586	634	526	133	659	2 289	0,29		4	1 304	558	1 862	2 496	774	425	1 199	2,51	154 %	
1988	57	522	579	596	94	690	2 680	0,26		6	1 639	813	2 452	3 031	1 037	719	1 756	4,17	256 %	
1989	53	613	666	506	120	626	2 832	0,22		0	1 839	466	2 305	2 971	1 333	346	1 679	2,24	137 %	
1990	144	524	668	668	164	832	3 110	0,27		2	1 905	530	2 435	3 103	1 235	366	1 601	2,32	142 %	
1991	15	1 191	1 206	348	125	473	2 405	0,20		3	1 334	516	1 850	3 056	984	390	1 374	2,38	146 %	
1992	56	638	694	222	151	373	2 693	0,14		3	577	612	1 189	1 883	354	459	813	3,26	200 %	
1993	Fermée			172	57	229	2 676	0,09		1	410	271	681	681	238	213	451	1,55	95 %	
1994	Fermée			184	34	218	2 274	0,10		0	579	309	888	888	395	275	670	2,05	126 %	
1995	Fermée			104	117	221	2 125	0,10		2	348	671	1 019	1 019	244	552	796	3,82	235 %	
1996	Fermée			182	66	248	2 445	0,10		2	661	434	1 095	1 095	477	368	845	2,71	167 %	
1997	Fermée			156	61	217	2 397	0,09		2	394	558	952	952	237	496	733	3,45	211 %	
1998	Fermée			112	80	192	2 642	0,07		2	524	385	909	909	410	305	715	2,26	138 %	
1999	Fermée			66	47	113	1 675	0,07		3	396	381	777	777	327	334	661	2,41	148 %	
2000	Fermée			37	16	53	1 234	0,05		1	250	251	501	501	213	234	447	1,68	103 %	
2001	Fermée			24	36	60	901	0,07	3	0	100	187	287	287	76	151	227	1,05	64 %	
2002	Fermée			71	0	71	726	0,10	23	0	404	108	512	512	333	108	441	0,90	55 %	
2003	Fermée			68	18	86	834	0,10	13	0	385	218	603	603	317	200	517	1,51	92 %	
2004	Fermée			54	0	54	862	0,06	25	0	334	230	564	564	280	230	510	1,69	104 %	
2005	Fermée			51	0	51	644	0,08	10	6	277	149	426	426	222	147	369	1,10	68 %	
2006	Fermée			120	0	120	735	0,16	18	2	515	357	872	872	395	355	750	2,58	159 %	
2007	Fermée			123	0	123	931	0,13	32	0	601	249	850	850	478	249	727	1,92	118 %	
2008	Fermée			112	0	112	788	0,14	42	3	628	325	953	953	516	322	838	2,43	149 %	
2009	Fermée			23	0	23	627	0,04	20	2	229	216	445	445	206	214	420	1,54	95 %	
2010	Fermée			101	4	105	681	0,15	18	1	611	258	869	869	509	254	763	1,97	121 %	
2011	Fermée			201	5	206	986	0,21	79	0	949	317	1 266	1 266	748	312	1 060	2,48	152 %	
2012	Fermée			64	0	64	973	0,07	43	1	263	286	549	549	199	285	484	2,22	136 %	
2013	Fermée			37	0	37	736	0,05	50	1	172	226	398	398	135	225	360	1,74	107 %	
2014	Fermée			35	0	35	694	0,05	17	3	235	65	300	300	199	63	262	0,56	34 %	
2015	Fermée			121	0	121	817	0,15	41	4	571	140	711	711	448	138	586	1,23	76 %	
2016	Fermée			112	3	115	1 084	0,11	55	5	578	221	799	799	465	214	679	1,80	108 %	
2017	Fermée			43	1	44	1 055	0,04	47	3	212	264	476	476	169	260	429	2,00	121 %	
<b>2018</b>	<b>Fermée</b>			<b>25</b>	<b>0</b>	<b>25</b>	<b>757</b>	<b>0,03</b>	<b>13</b>	<b>2</b>	<b>184</b>	<b>81</b>	<b>265</b>	<b>265</b>	<b>158</b>	<b>80</b>	<b>238</b>	<b>0,66</b>	<b>40 %</b>	
<b>Moyenne</b>																				
<b>1984-2017</b>				<b>186</b>	<b>57</b>	<b>243</b>	<b>1 607</b>	<b>0,15</b>	<b>32</b>	<b>2</b>	<b>695</b>	<b>362</b>	<b>1 057</b>	<b>1 057</b>	<b>508</b>	<b>303</b>	<b>811</b>	<b>2,13</b>		
<b>2013-2017</b>				<b>70</b>	<b>1</b>	<b>70</b>	<b>877</b>	<b>0,08</b>	<b>42</b>	<b>3</b>	<b>354</b>	<b>183</b>	<b>537</b>	<b>537</b>	<b>283</b>	<b>180</b>	<b>463</b>	<b>1,47</b>		
Variation																				
2018 vs 2017				-42 %		-43 %	-28 %	-21 %	-72 %		-13 %	-69 %	-44 %	-44 %	-7 %	-69 %	-45 %	-67 %		
2018 vs 1984-2017				-87 %		-90 %	-53 %	-78 %	-59 %		-74 %	-78 %	-75 %	-75 %	-69 %	-74 %	-71 %	-69 %		
2018 vs 2013-2017				-64 %		-64 %	-14 %	-59 %	-69 %		-48 %	-56 %	-51 %	-51 %	-44 %	-56 %	-49 %	-55 %		

Remarques : Retraits divers : inclut les retraits piscicoles, les poissons trouvés morts et, depuis 2015, 7 % de mortalité dans les remises à l'eau.

☐ : La montaison a été estimée en ajoutant le nombre estimé de saumons qui ont monté pendant la semaine du 1<sup>er</sup> au 7 juillet en considérant la proportion moyenne que représente cette période dans l'ensemble des montaisons des années 1992 à 2008.

Tableau IX. Montaison totale des saumons par catégorie de groupe d'âge en mer dans la rivière Saint-Jean de 1984 à 2018

Année	Madeleineaux		Rédiберкуmarins		Répartition des rédiберкуmarins									Grand total
	n	%	n	%	Diberберкуmarins			Triберкуmarins			Frai antérieur			
					n échant.	%	n estimé	n échant.	%	n estimé	n échant.	%	n estimé	
1984	113	9	1 116	91	283	89	996	20	6	70	14	4	49	1 229
1985	61	7	795	93	263	92	734	16	6	45	6	2	17	856
1986	155	16	819	84	187	87	716	7	3	27	20	9	77	974
1987	563	34	1 069	66	208	91	971	1	0	5	20	9	93	1 632
1988	436	18	1 937	82	432	93	1 792	3	1	12	32	7	133	2 373
1989	262	16	1 375	84	448	94	1 286	11	2	32	20	4	57	1 637
1990	512	40	772	60	211	86	665	4	2	13	30	12	95	1 284
1991	437	23	1 487	77	465	95	1 405	2	0	6	25	5	76	1 924
1992	559	27	1 478	73	555	93	1 374	13	2	32	29	5	72	2 037
1993	619	36	1 102	64	466	93	1 027	5	1	11	29	6	64	1 721
1994	494	28	1 258	72	516	90	1 135	12	2	26	44	8	97	1 752
1995	245	18	1 138	82	403	96	1 097	5	1	14	10	2	27	1 383
1996	341	30	798	70	319	88	699	18	5	39	27	7	59	1 139
1997	304	34	598	66	184	90	539	3	1	9	17	8	50	902
1998	483	53	431	47	0	92	397	0	2	9	0	6	26	914
1999	324	31	736	69	0	92	677	0	2	15	0	6	44	1 060
2000	370	47	421	53	38	86	364	2	5	19	4	9	38	791
2001	268	23	880	77	91	93	817	0	0	0	7	7	63	1 148
2002	520	43	686	57	20	87	597	0	0	0	3	13	89	1 206
2003	394	28	1 013	72	51	98	994	1	2	19	0	0	0	1 407
2004	384	36	677	64	24	92	625	1	4	26	1	4	26	1 061
2005	366	29	908	71	2	91	826	0	2	18	0	7	64	1 274
2006	346	31	758	69	33	79	596	1	2	18	8	19	144	1 104
2007	275	30	647	70	45	94	607	1	2	13	2	4	27	922
2008	599	50	605	50	12	86	519	1	7	43	1	7	43	1 204
2009	282	28	722	72	51	89	646	0	0	0	6	11	76	1 004
2010	295	25	898	75	102	94	840	4	4	33	3	3	25	1 193
2011	343	33	688	67	44	100	688	0	0	0	0	0	0	1 031
2012	171	24	530	76	1	93	493	0	3	16	0	5	27	701
2013	180	19	786	81	81	96	758	2	2	19	1	1	9	966
2014	319	53	278	47	3	93	259	0	3	8	0	4	11	597
2015	499	40	744	60	60	98	732	0	0	0	1	2	12	1 243
2016	173	21	662	79	74	100	662	0	0	0	0	0	0	835
2017	131	19	554	81	9	98	543	1	1	6	2	1	6	685
2018	278	41	403	59	11	98	395	0	1	4	0	1	4	681
<b>Moyenne</b>														
<b>1984-2018</b>	<b>346</b>	<b>29</b>	<b>851</b>	<b>71</b>	<b>163</b>	<b>92</b>	<b>785</b>	<b>4</b>	<b>2</b>	<b>17</b>	<b>10</b>	<b>6</b>	<b>49</b>	<b>1 196</b>
<b>2013-2017</b>	<b>260</b>	<b>30</b>	<b>605</b>	<b>70</b>	<b>45</b>	<b>98</b>	<b>591</b>	<b>1</b>	<b>1</b>	<b>7</b>	<b>1</b>	<b>1</b>	<b>8</b>	<b>865</b>

Estimations obtenues en faisant la moyenne des cinq dernières années pour lesquelles un minimum de 15 individus ont été âgés

Tableau X. Montaison totale des saumons par catégorie de groupe d'âge en mer dans la rivière de la Trinité de 1984 à 2018

Année	Madeleineaux <sup>1</sup>		RédiBERmarins <sup>1</sup>		Répartition des rédiBERmarins <sup>1</sup>									Grand total	
	n	%	n	%	Dibermarins			TriBERmarins			Frai antérieur				
					n	%	n	n	%	n	n	%	n		
															échant.
1984	1 805	64	1 023	36	594	87	888	0	0	0	90	13	135	2 828	
1985	1 093	47	1 246	53	789	92	1 143	7	1	10	65	8	94	2 339	
1986	1 603	57	1 227	43	752	92	1 129	4	0	6	62	8	93	2 830	
1987	1 352	54	1 144	46	655	92	1 053	0	0	0	57	8	91	2 496	
1988	1 696	56	1 335	44	567	93	1 243	0	0	0	42	7	92	3 031	
1989	1 892	64	1 079	36	633	87	943	0	0	0	91	13	136	2 971	
1990	2 049	66	1 054	34	571	84	882	0	0	0	112	16	172	3 103	
1991	1 349	44	1 707	56	1 227	93	1 595	0	0	0	86	7	112	3 056	
1992	633	34	1 250	66	732	93	1 165	5	1	9	48	6	77	1 883	
1993	410	60	271	40	50	88	238	0	0	0	7	12	33	681	
1994	579	65	309	35	27	82	253	0	0	0	6	18	56	888	
1995	348	34	671	66	99	93	621	0	0	0	8	7	50	1 019	
1996	661	60	434	40	55	87	379	0	0	0	8	13	55	1 095	
1997	394	41	558	59	35	65	362	0	0	0	19	35	196	952	
1998	524	58	385	42	67	86	331	0	0	0	11	14	54	909	
1999	396	51	381	49	40	89	339	0	0	0	5	11	42	777	
2000	250	50	251	50	12	86	215	0	0	0	2	14	36	501	
2001	100	35	187	65	25	74	138	0	0	0	9	26	50	287	
2002	404	79	108	21	10	45	49	0	0	0	12	55	59	512	
2003	385	64	218	36	68	81	176	0	0	0	16	19	42	603	
2004	334	59	230	41	29	88	202	0	0	0	4	12	28	564	
2005	277	65	149	35	17	65	97	0	0	0	9	35	52	426	
2006	515	59	357	41	22	51	183	0	0	0	21	49	174	872	
2007	601	71	249	29	64	69	171	0	0	0	29	31	78	850	
2008	628	66	325	34	42	66	213	0	0	0	22	34	112	953	
2009	229	51	216	49	12	67	144	0	0	0	6	33	72	445	
2010	611	70	258	30	42	66	169	0	0	0	22	34	89	869	
2011	949	75	317	25	53	78	247	0	0	0	15	22	70	1 266	
2012	263	48	286	52	70	80	230	0	0	0	17	20	56	549	
2013	172	43	226	57	42	66	148	1	2	4	21	33	74	398	
2014	235	78	65	22	22	61	40	0	0	0	14	39	25	300	
2015	571	80	140	20	36	78	110	0	0	0	10	22	30	711	
2016	578	72	221	28	72	89	196	0	0	0	9	11	25	799	
2017	212	45	264	55	45	73	192	0	0	0	17	27	72	476	
<b>2018</b>	<b>184</b>	<b>69</b>	<b>81</b>	<b>31</b>	<b>34</b>	<b>87</b>	<b>71</b>	<b>0</b>	<b>0</b>	<b>0</b>	<b>5</b>	<b>13</b>	<b>10</b>	<b>265</b>	
<b>Moyenne</b>															
<b>1984-2018</b>	<b>694</b>	<b>57</b>	<b>521</b>	<b>43</b>	<b>217</b>	<b>85</b>	<b>444</b>	<b>0</b>	<b>0</b>	<b>1</b>	<b>28</b>	<b>14</b>	<b>75</b>	<b>1 214</b>	
<b>2013-2017</b>	<b>354</b>	<b>66</b>	<b>183</b>	<b>34</b>	<b>43</b>	<b>75</b>	<b>137</b>	<b>0</b>	<b>0</b>	<b>1</b>	<b>14</b>	<b>25</b>	<b>45</b>	<b>537</b>	

<sup>1</sup> Y compris la pêche commerciale.

Tableau XI. Caractéristiques des ombles de fontaine anadromes dans la passe migratoire de la rivière de la Trinité de 1997 à 2018

Année	Montaison	Échantillon (n)	Longueurs totales		
			Minimum	Maximum	Moyenne
1997	918	918	15	70	35
1998	1 345	1 345	15	70	35
1999	1 177	1 177	10	70	34
2000	1 119	1 027	15	60	36
2001	1 516	803	20	60	35
2002*	2 516	2 516	10	60	26
2003	4 495	4 495	10	65	26
2004	3 050	3 050	10	60	26
2005	2 001	2 001	10	60	26
2006	4 186	4 186	5	60	23
2007	4 480	4 480	10	65	25
2008	5 922	5 922	10	60	24
2009**	1 381	1 381	10	60	30
2010***	4 334	4 317	5	60	27
2011	4 859	4 859	10	65	29
2012	4 123	4 123	10	60	30
2013	1 500	1 500	15	60	35
2014	1 646	1 406	15	60	33
2015	3 280	3 280	15	60	31
2016	3 473	3 473	10	65	30
2017	1 440	1 439	10	60	34
<b>2018</b>	<b>1 917</b>	<b>1 917</b>	<b>10</b>	<b>55</b>	<b>28</b>
<b>Total</b>	<b>60 678</b>	<b>59 615</b>			
<b>Moyenne 2002-2018</b>	<b>3 326</b>	<b>3 310</b>	<b>10</b>	<b>61</b>	<b>27</b>

\* Modification du plancher de la cage de rétention de la passe migratoire permettant la capture de petits ombles de fontaine.

\*\* Année exclue des calculs puisque la barrière de comptage ne permet pas la capture des petits ombles de fontaine et n'était pas en fonction du 1<sup>er</sup> au 7 juillet.

\*\*\* Depuis 2010, la passe migratoire a été reconstruite et présente des caractéristiques différentes pouvant influencer les captures d'ombles de fontaine.

Tableau XII. Caractéristiques des saumons échantillonnés dans la rivière Saint-Jean en 2018

	Madeleineaux			Rédibermarins			Dibermarins		
	Mâles	Femelle	Tous	Mâles	Femelles	Tous	Mâles	Femelles	Tous
<b>Poids (kg)</b>									
n	35		66	7	1	11	7	1	11
Moyenne	1,31		1,36	1,82	4,10	4,62	4,80	4,10	4,62
Minimum	1,00		1,00	4,10	4,10	4,10	4,10	4,10	4,10
Maximum	1,90		2,20	5,00	4,10	5,00	5,00	4,10	5,00
Écart-type	0,26		0,28	4,80		0,40	0,36		0,40
<b>Longueur à la fourche (cm)</b>									
n	35		66	7	1	12	7	1	12
Moyenne	53,1		52,9	78,7	76,0	77,3	78,7	76,0	77,3
Minimum	47,0		44,5	76,0	76,0	74,0	76,0	76,0	74,0
Maximum	59,0		59,0	81,0	76,0	81,0	81,0	76,0	81,0
Écart-type	2,97		2,97	1,70		2,27	1,70		2,27
<b>Facteur de condition de Fulton</b>									
n	35		66	7	1	11	7	1	11
Moyenne	0,88		0,92	0,99	0,93	1,00	0,99	0,93	1,00
Minimum	0,68		0,68	0,80	0,93	0,80	0,80	0,93	0,80
Maximum	1,14		1,43	1,14	0,93	1,14	1,14	0,93	1,14
Écart-type	0,12		0,16	0,11		0,11	0,11		0,11
<b>Sexe</b>									
n	35	0	35	7	1	8	7	1	8
	100 %	0 %		88 %	12 %		88 %	12 %	
<b>Âge à la smoltification</b>									
		<b>Nombre</b>			<b>Nombre</b>			<b>Nombre</b>	
2 ans		3	5 %		3	25 %		3	25 %
3 ans		46	73 %		6	50 %		6	50 %
4 ans		14	22 %		3	25 %		3	25 %
5 ans		0	0 %		0	0 %		0	0 %
Total		63	100 %		12	100 %		12	100 %

Note : Le tableau présente les poids et longueurs des poissons conservés, remis à l'eau ou trouvés morts.

Tableau XIII. Caractéristiques des saumons échantillonnés dans la rivière de la Trinité en 2018

	Madeleineaux			Rédibermarins			Répartition des rédibermarins					
	Mâles	Femelles	Tous	Mâles	Femelles	Tous	Dibermarins			Frai antérieur		
	Mâles	Femelles	Tous	Mâles	Femelles	Tous	Mâles	Femelles	Tous	Mâles	Femelles	Tous
<b>Poids (kg)</b>												
n	18	1	22									
Moyenne	1,61	1,80	1,62									
Minimum	1,10	1,80	1,10									
Maximum	3,20	1,80	3,20									
Écart-type	0,45		0,41									
<b>Longueur à la fourche (cm)</b>												
n	19	1	23			39			34			5
Moyenne	52,8	55,1	53,1			75,5			74,2			84,3
Minimum	49,0	55,1	49,0			65,0			65,0			71,0
Maximum	61,0	55,1	61,0			90,0			81,0			90,0
Écart-type	3,13		2,95			5,65			4,00			7,73
<b>Facteur de condition de Fulton</b>												
n	16	1	20									
Moyenne	1,03	1,08	1,02									
Minimum	0,69	1,08	0,69									
Maximum	1,31	1,08	1,31									
Écart-type	0,15		0,14									
<b>Sexe (n)</b>												
n	21	1	22									
	95 %	5 %										
<b>Âge à la smoltification</b>												
		<b>Nombre</b>			<b>Nombre</b>			<b>Nombre</b>		<b>Nombre</b>		
2 ans		3	13 %		2	6 %		2	7 %		0	0 %
3 ans		16	70 %		29	85 %		25	83 %		4	100 %
4 ans		4	17 %		3	9 %		3	10 %		0	0 %
5 ans		0	0 %		0	0 %		0	0 %		0	0 %
Total		23	100 %		34	100 %		30	100 %		4	100 %

Notes : Pour les madeleineaux, les données de poids et de longueur proviennent des poissons conservés ou trouvés morts.

Pour les rédibermarins, les données proviennent de l'échantillonnage effectué dans la passe migratoire par le personnel technique sur les poissons vivants ou des poissons trouvés morts.

Tableau XIV. Caractéristiques des saumons échantillonnés dans la rivière Saint-Jean de 1983 à 2018

	Madelaineaux				Dibermarins				Tribermarins				Frai antérieur			
	Échant.*	LF	Poids	Femelles	Échant.*	LF	Poids	Femelles	Échant.*	LF	Poids	Femelles	Échant.*	LF	Poids	Femelles
	n	$\bar{x}$ (cm)	$\bar{x}$ (kg)	n %	n	$\bar{x}$ (cm)	$\bar{x}$ (kg)	n %	n	$\bar{x}$ (cm)	$\bar{x}$ (kg)	n %	n	$\bar{x}$ (cm)	$\bar{x}$ (kg)	n %
1983	16			16 0,0	55			55 65,5	2			2 50,0	6			6 50,0
1984	2			2 0,0	15			15 60,0	0			0	1			1 100,0
1985	5			5 0,0	83			83 60,2	5			5 0,0	2			2 0,0
1986	13			13 7,7	38			38 50,0	1			1 100,0	5			5 60,0
1987	18			18 5,6	44			44 70,5	0			0	10			10 60,0
1988	113	54,9	1,60	91 1,1	431	74,7	4,25	194 61,9	2		7,70	0	39	79,0	5,16	17 23,5
1989	99	54,1	1,57	86 0,0	448	75,7	4,33	305 72,8	11	90,1	8,01	8 87,5	20	87,1	6,90	16 50,0
1990	206	54,8	1,71	180 0,6	211	75,6	4,47	152 66,4	4	90,5	7,84	3 100,0	30	89,8	7,50	16 56,3
1991	140	53,2	1,49	62 0,0	462	74,6	4,15	222 64,9	2	90,0	7,85	0	25	89,4	7,95	10 70,0
1992	284	54,4	1,65	128 0,0	555	76,2	4,55	262 74,0	13	91,6	8,20	9 88,9	29	90,0	7,90	16 62,5
1993	313	53,7	1,54	66 1,5	463	74,3	4,17	155 69,7	5	91,3	7,96	0	29	93,5	9,23	15 86,7
1994	248	53,6	1,60	106 4,7	515	75,8	4,53	204 71,6	12	91,3	8,23	4 100,0	44	90,0	8,11	17 47,1
1995	78	53,2	1,47	43 2,3	400	75,5	4,35	198 68,7	5	88,4	7,14	3 100,0	10	85,2	6,72	7 28,6
1996	152	55,2	1,70	60 1,7	319	75,8	4,44	118 66,9	18	91,5	8,16	6 83,3	27	94,0	9,18	15 60,0
1997	127	55,1	1,71	36 0,0	184	76,4	4,66	57 70,2	3	89,8	7,60	0	17	90,1	7,52	6 83,3
1998	169	54,3	1,66	48 0,0	0			0	0			0	0			0
1999	38	55,9	1,76	38 0,0	0			0	0			0	0			0
2000	88	56,0	1,70	27 0,0	38	75,7	4,53	8 75,0	1		5,40	0	4	78,0	7,27	4 50,0
2001	61	56,5	1,74	6 0,0	91	77,0		4 75,0	0			0	7	98,6		4 75,0
2002	167	56,7	1,78	50 2,0	19	79,0	4,40	1 0,0	0			0	3	96,3		0
2003	92	56,5	1,77	32 0,0	51	79,7	5,85	1 100,0	1	83,0		0	0			0
2004	105	57,1	1,76	61 4,9	23	79,2		0	1	96,0		0	1	94,0		0
2005	69	56,5	1,73	33 3,0	2	74,5	4,00	2 50,0	0			0	0			0
2006	115	56,0	1,71	28 3,6	27	81,8	5,20	1 100,0	1	94,0		0	6	95,5	9,20	1 0,0
2007	77	55,5	1,65	28 7,1	37	74,3	4,13	14 78,6	1	93,0	8,00	0	2	97,5	6,00	1 100,0
2008	240	56,4	1,72	93 0,0	12	77,1	4,58	5 80,0	1	89,0	7,50	1 100,0	1	84,0	6,00	1 0,0
2009	100	56,1	1,59	31 0,0	48	77,6	4,23	19 84,2	0			0	6	99,0		3 33,3
2010	152	55,4	1,55	51 0,0	98	76,7	4,44	57 68,4	4	85,3	7,00	4 50,0	3	103,0		3 100,0
2011	207	56,9	1,80	83 0,0	44	79,6	4,89	15 80,0	0			0	0			0
2012	81	54,5	1,60	31 0,0	1	78,0	4,80	0	0			0	0			0
2013	77	56,2	1,65	31 0,0	67	76,4	4,22	50 70,0	2	90,3	8,50	2 100,0	1	91,0	7,60	1 100,0
2014	166	54,1	1,53	74 2,7	3	77,3	4,13	3 33,3	0			0	0			0
2015	226	55,5	1,70	92 1,1	60	78,0	4,50	28 78,6	0			0	1	101,0	10,20	1 100,0
2016	80	54,1	1,51	30 0,0	74	76,8	4,51	41 58,5	0			0	0			0
2017	51	53,1	1,36	31 6,5	9	78,6	5,89	2 100,0	1	94,0	11,40	1 100,0	2	92,5	9,10	1 100,0
2018	66	52,9	1,36	35 0,0	12	77,3	4,62	8 12,5	0			0	0			0
<b>Moyenne</b>		<b>55,0</b>	<b>1,64</b>	<b>1,4</b>		<b>75,8</b>	<b>4,38</b>	<b>68,4</b>		<b>90,7</b>	<b>8,02</b>	<b>77,6</b>		<b>91,0</b>	<b>7,63</b>	<b>56,4</b>

LT : Longueur totale      LF : Longueur à la fourche

\* Certaines caractéristiques ne sont pas connues pour tous les échantillons. Pour plus de précisions sur l'année à l'étude, voir le tableau XII.

Tableau XV. Caractéristiques des saumons échantillonnés dans la rivière de la Trinité de 1980 à 2018

	Madeleineaux				Dibermarins				Tribermarins				Frai antérieur			
	Échant.*	LF	Poids	Femelles	Échant.*	LF	Poids	Femelles	Échant.*	LF	Poids	Femelles	Échant.*	LF	Poids	Femelles
	n	$\bar{x}$ (cm)	$\bar{x}$ (kg)	n %	n	$\bar{x}$ (cm)	$\bar{x}$ (kg)	n %	n	$\bar{x}$ (cm)	$\bar{x}$ (kg)	n %	n	$\bar{x}$ (cm)	$\bar{x}$ (kg)	n %
1980	372		1,71	354 5,4	30		4,53	28 78,6	0			0	9		3,78	9 33,3
1981	317		1,51	296 4,1	21		4,00	20 100,0	0			0	3		4,20	3 33,3
1982	241		1,60	213 3,3	62		3,96	55 81,8	0			0	2		7,73	1 0,0
1983	123	51,7	1,57	116 2,6	73	72,1	3,94	65 89,2	0			0	4	87,0	6,92	4 50,0
1984	406	51,1	1,45	362 11,0	112	70,5	3,64	101 82,2	0			0	17	77,1	4,84	15 26,7
1985	150	49,8	1,33	109 1,8	232	71,0	3,78	168 95,2	2		6,83	2 100,0	19	72,6	4,86	12 25,0
1986	479	50,8	1,38	368 4,1	195	70,9	3,74	152 82,2	1	81,0	5,65	1 100,0	15	73,7	4,67	11 36,4
1987	500	51,9	1,47	333 8,4	116	72,4	4,01	83 86,7	0			0	10	74,3	4,60	6 0,0
1988	556	53,4	1,65	364 9,1	81	73,4	4,12	58 93,1	0			0	6	81,3	6,73	6 33,3
1989	482	54,4	1,67	292 7,9	97	72,5	3,91	64 89,1	0			0	14	75,6	5,22	7 42,9
1990	647	54,6	1,74	463 8,2	133	74,4	4,33	98 91,8	0			0	26	79,7	5,70	19 26,3
1991	344	54,6	1,66	183 7,7	114	73,2	3,94	68 97,1	0			0	8	75,8	4,69	5 40,0
1992	218	54,7	1,69	139 16,5	137	74,2	4,23	94 97,9	0			0	9	68,6	3,15	5 40,0
1993	164	55,9	1,80	125 7,2	50	73,2	4,01	37 97,3	0			0	7	85,3	6,22	7 100,0
1994	166	55,1	1,78	127 9,4	27	75,6	4,53	18 100,0	0			0	6	90,4	7,90	6 83,3
1995	100	55,3	1,79	69 7,2	97	74,4	4,26	69 100,0	0			0	8	75,1	4,96	2 0,0
1996	179	56,7	1,97	130 14,6	55	76,5	4,69	39 94,9	0			0	8	84,3	6,33	2 100,0
1997	151	57,0	2,05	112 9,8	35	75,5	4,50	31 96,8	0			0	19	88,0	7,32	16 81,3
1998	107	56,5	1,98	79 15,2	67	76,3	4,65	55 96,4	0			0	11	79,7	5,63	8 12,5
1999	64	59,9	2,20	39 12,8	40	77,3	4,79	32 96,9	0			0	5	98,9	10,71	3 66,7
2000	34	56,5	1,99	23 0,0	12	75,6	4,40	10 100,0	0			0	2	76,5	5,16	2 50,0
2001	23	59,8	2,07	19 15,8	25	77,5	4,60	25 96,0	0			0	9	80,3	5,48	8 87,5
2002	72	59,2	2,07	57 24,6	10	75,5		0	0			0	12	84,7		0
2003	55	57,4	2,04	53 13,2	60	77,1	4,88	15 100,0	0			0	8	89,9	2,83	1 0,0
2004	53	57,2	2,08	50 30,0	29	76,7		0	0			0	4	94,0		0
2005	44	56,0	1,87	42 26,2	17	75,4	4,28	1 100,0	0			0	9	91,8		0
2006	121	56,9	2,09	107 12,1	22	77,1	4,55	1 100,0	0			0	21	83,1		0
2007	123	54,2	1,85	111 11,7	64	75,6		0	0			0	29	85,0		0
2008	113	56,8	1,95	105 4,8	40	73,8	5,35	1 100,0	0			0	22	83,1		0
2009	40	54,9	1,72	19 5,3	12	73,7		0	0			0	5	75,5		0
2010	102	53,5	1,61	87 11,5	41	74,8		0	0			0	21	84,5	2,23	3 0,0
2011	201	55,4	1,81	195 13,8	53	76,0		0	0			0	15	78,6	2,44	4 0,0
2012	64	52,3	1,53	59 0,0	64	75,5	4,60	1 100,0	0			0	17	88,5		0
2013	36	54,2	1,69	34 11,8	38	76,0		0	0			0	19	86,4		0
2014	36	54,4	1,68	27 3,7	22	72,2	3,80	1 100,0	0			0	14	84,4		0
2015	122	54,5	1,78	108 10,2	36	76,0		0	0			0	10	91,7		0
2016	112	52,8	1,59	102 11,8	71	75,7		0	0			0	7	67,9	2,30	3 0,0
2017	43	51,9	1,49	43 23,3	45	72,6		0	0			0	17	84,2		1 0,0
2018	23	53,1	1,62	22 4,5	34	74,2		0	0			0	5	84,3		0
<b>Moyenne</b>		<b>54,0</b>	<b>1,67</b>	<b>8,8</b>		<b>73,8</b>	<b>4,08</b>	<b>91,5</b>		<b>81,0</b>	<b>6,44</b>	<b>100,0</b>		<b>82,3</b>	<b>5,39</b>	<b>40,8</b>

LT : Longueur totale LF : Longueur à la fourche

\* Certaines caractéristiques ne sont pas connues pour tous les échantillons. Pour plus de précisions sur l'année à l'étude, voir le tableau XIII.

Tableau XVI. Survie en rivière, de l'œuf au smolt, dans les rivières Saint-Jean et de la Trinité de 1980 à 2018

Année	Rivière Saint-Jean										Rivière de la Trinité												
	Œufs déposés	Nombre par groupe d'âge					Taux de survie (%) par groupe d'âge					Œufs déposés	Nombre par groupe d'âge					Taux de survie (%) par groupe d'âge					
		2	3	4	5	Tous	2	3	4	5	Tous		2	3	4	5	Tous	2	3	4	5	Tous	
1980											1 717 436	5 476	58 256	4 609	0	68 341	0,32	3,39	0,27	0,00	3,98		
1981											1 416 661	8 981	49 936	9 328	0	68 245	0,63	3,52	0,66	0,00	4,82		
1982											3 886 723	11 524	79 288	12 292	0	103 104	0,30	2,04	0,32	0,00	2,65		
1983											2 364 651	7 929	61 110	4 962	256	74 257	0,34	2,58	0,21	0,01	3,14		
1984											2 191 974	4 214	27 744	4 860	261	37 079	0,19	1,27	0,22	0,01	1,69		
1985	2 251 024	1 011	39 960	33 685	6 437	81 091	0,04	1,78	1,50	0,29	3,60	2 254 762	19 173	52 689	6 780	0	78 642	0,85	2,34	0,30	0,00	3,49	
1986	2 662 146	1 033	59 058	65 009	4 100	129 200	0,04	2,22	2,44	0,15	4,85	2 425 953	22 252	39 376	6 518	0	68 146	0,92	1,62	0,27	0,00	2,81	
1987	3 784 154	2 187	39 907	68 060	687	110 841	0,06	1,05	1,80	0,02	2,93	2 507 970	3 912	31 086	6 452	651	42 100	0,16	1,24	0,26	0,03	1,68	
1988	6 333 209	2 575	82 000	87 295	2 522	174 392	0,04	1,29	1,38	0,04	2,75	4 166 199	3 259	39 703	6 508	388	49 858	0,08	0,95	0,16	0,01	1,20	
1989	4 110 301	820	52 927	49 065	2 906	105 718	0,02	1,29	1,19	0,07	2,57	2 239 664	4 715	73 536	6 213	0	84 463	0,21	3,28	0,28	0,00	3,77	
1990	2 439 925	2 062	21 552	38 302	5 576	67 492	0,08	0,88	1,57	0,23	2,77	2 319 842	5 531	44 264	11 765	0	61 561	0,24	1,91	0,51	0,00	2,65	
1991	4 674 652	1 146	17 962	49 254	3 819	72 182	0,02	0,38	1,05	0,08	1,54	2 378 498	5 048	49 349	5 381	0	59 778	0,21	2,07	0,23	0,00	2,51	
1992	4 380 684	1 057	45 537		0		0,02	1,04		0,00		3 259 413	10 785	53 495	5 091	0	69 371	0,33	1,64	0,16	0,00	2,13	
1993	3 046 972	4 647		14 221	2 042		0,15		0,47	0,07		1 551 203	2 216	24 705	5 250	0	32 171	0,14	1,59	0,34	0,00	2,07	
1994	3 478 492	4 852	64 260	42 370	4 838	116 320	0,14	1,85	1,22	0,14	3,34	2 048 734	2 096	20 832	4 541	0	27 470	0,10	1,02	0,22	0,00	1,34	
1995	3 556 483	17 382	65 342	21 501	1 690	105 915	0,49	1,84	0,60	0,05	2,98	3 824 510	2 879	40 044	4 336	0	47 259	0,08	1,05	0,11	0,00	1,24	
1996	2 150 090	4 594	23 114	38 028	876	66 613	0,21	1,08	1,77	0,04	3,10	2 714 526	11 972	26 376	2 344	0	40 691	0,44	0,97	0,09	0,00	1,50	
1997	1 975 262	1 613	56 620	17 960	506	76 699	0,08	2,87	0,91	0,03	3,88	3 445 827	9 033	60 473	2 788	213	72 507	0,26	1,75	0,08	0,01	2,10	
1998	2 218 708	13 521	44 680	14 179	0	72 380	0,61	2,01	0,64	0,00	3,26	2 257 500	7 501	36 945	5 750	0	50 196	0,33	1,64	0,25	0,00	2,22	
1999	3 775 376	8 323	44 055	15 082	1 920	69 380	0,22	1,17	0,40	0,05	1,84	2 408 173	4 531	42 168	3 551	148	50 399	0,19	1,75	0,15	0,01	2,09	
2000	2 130 047	1 519	35 909	35 201	4 632	77 261	0,07	1,69	1,65	0,22	3,63	1 678 721	4 898	21 753	2 374	41	29 066	0,29	1,30	0,14	0,00	1,73	
2001	4 490 633	3 830	56 961	40 146	10 958	111 895	0,09	1,27	0,89	0,24	2,49	1 051 051	1 998	29 971	1 413	212	33 594	0,19	2,85	0,13	0,02	3,20	
2002	3 516 001	1 920	55 072	45 765	464	103 221	0,05	1,57	1,30	0,01	2,94	897 879	2 374		2 762	160		0,26		0,31	0,02		
2003	5 192 382	3 088	76 704	15 558	186	95 537	0,06	1,48	0,30	0,00	1,84	1 505 579	3 867	37 186	2 880	0	43 933	0,26	2,47	0,19	0,00	2,92	
2004	3 481 041	1 934	28 562	11 376	502	42 373	0,06	0,82	0,33	0,01	1,22	1 687 073	2 762	28 637	2 723	0	34 122	0,16	1,70	0,16	0,00	2,02	
2005	4 654 184	1 393	23 497	10 039	853	35 782	0,03	0,50	0,22	0,02	0,77	1 100 834	3 360	28 237	3 659	0	35 255	0,31	2,57	0,33	0,00	3,20	
2006	3 883 435	2 238	35 638	13 081	204	51 161	0,06	0,92	0,34	0,01	1,32	2 584 465	1 720	29 817	2 467	222	34 226	0,07	1,15	0,10	0,01	1,32	
2007	3 118 202	2 008	28 721	9 381	748	40 858	0,06	0,92	0,30	0,02	1,31	1 918 151	4 024	37 448	3 778	0	45 250	0,21	1,95	0,20	0,00	2,36	
2008	3 030 122	2 559	23 656	9 353	724	36 292	0,08	0,78	0,31	0,02	1,20	2 426 935	4 485	29 998	4 026	197	38 706	0,18	1,24	0,17	0,01	1,59	
2009	3 153 183	7 546	23 942	27 142	526	59 156	0,24	0,76	0,86	0,02	1,88	1 541 118	11 110	31 572	3 547	0	46 229	0,72	2,05	0,23	0,00	3,00	
2010	3 969 964	2 806	26 780		1 576		0,07	0,67		0,04		1 967 892	6 780	21 873	1 903	284	30 840	0,34	1,11	0,10	0,01	1,57	
2011	3 299 019	1 809		16 941	1 448		0,05		0,51	0,04		2 481 641	5 124	38 370	7 659	545	51 698	0,21	1,55	0,31	0,02	2,08	
2012	3 084 276	3 114	35 851	11 822	500	51 286	0,10	1,16	0,38	0,02	1,66	2 219 497	7 293	32 056	5 632	0	44 982	0,33	1,44	0,25	0,00	2,03	
2013	4 134 251	3 940	20 508	13 987			0,10	0,50	0,34			1 741 824	2 269	19 984	3 861			0,13	1,15	0,22			
2014	1 601 551	483	23 228				0,03	1,45				561 821	1 272	20 333				0,23	3,62				
2015	4 038 239	500					0,01					1 234 363	11 325					0,92					
2016	3 528 294											1 798 098											
2017	3 146 086											2 002 380											
2018	2 277 356											664 348											
<b>Moyenne</b>	<b>3 428 404</b>						<b>0,10 %</b>	<b>1,18 %</b>	<b>0,87 %</b>	<b>0,06 %</b>	<b>2,35 %</b>	<b>2 113 946</b>						<b>0,29 %</b>	<b>1,74 %</b>	<b>0,22 %</b>	<b>0,005 %</b>	<b>2,25 %</b>	

□ Ces estimations sont basées sur le nombre de smolts produits d'un âge donné et sur la déposition d'œufs associée à cette cohorte, par rapport aux observations des cinq années précédentes ou suivantes.

▣ Cette estimation provient de la proportion de smolts de 2 ans observés en 1997 multipliée par la moyenne de la production de smolts de 1989 à 1999.

Tableau XVII. Taux de retour de la mer, du smolt jusqu'à l'adulte, dans les rivières Saint-Jean et de la Trinité

Année	Rivière Saint-Jean								Rivière de la Trinité <sup>1</sup>						
	Smolts	Mad. an + 1	Diber. an + 2	Triber. an + 3	Taux de retour (%) du smolt à :				Smolts	Mad. an + 1	Diber. an + 2	Taux de retour (%) du smolt à :			
					Mad.	Diber.	Triber.	Tous				Mad.	Diber.	Tous	
1984									67 922	1 093	1 129	1,61	1,66	3,27	
1985									65 847	1 603	1 053	2,43	1,60	4,03	
1986									96 316	1 352	1 243	1,40	1,29	2,69	
1987									77 342	1 696	943	2,19	1,22	3,41	
1988									51 590	1 892	882	3,67	1,71	5,38	
1989	92 396	512	1 405	32	0,55	1,52	0,03	2,11	79 710	2 049	1 595	2,57	2,00	4,57	
1990	97 768	437	1 374	11	0,45	1,41	0,01	1,86	50 109	1 349	1 165	2,69	2,32	5,02	
1991	113 745	559	1 027	26	0,49	0,90	0,02	1,42	40 696	633	238	1,56	0,58	2,14	
1992	154 790	619	1 135	14	0,40	0,73	0,01	1,14	50 664	410	253	0,81	0,50	1,31	
1993	142 764	494	1 097	39	0,35	0,77	0,03	1,14	85 961	579	621	0,67	0,72	1,40	
1994	73 961	245	699	9	0,33	0,95	0,01	1,29	55 769	348	379	0,62	0,68	1,30	
1995	59 999	341	539	9	0,57	0,90	0,01	1,48	71 679	661	362	0,92	0,50	1,43	
1996	104 895	304	397	15	0,29	0,38	0,01	0,68	60 899	394	331	0,65	0,54	1,19	
1997		483	677	19					31 659	524	339	1,66	1,07	2,72	
1998	95 475	324	364	0	0,34	0,38	0,00	0,72	28 725	396	215	1,38	0,75	2,13	
1999	114 035	370	817	0	0,32	0,72	0,00	1,04	56 056	250	138	0,45	0,25	0,69	
2000	50 653	268	597	19	0,53	1,18	0,04	1,75	39 510	100	49	0,25	0,12	0,38	
2001	109 399	520	994	26	0,48	0,91	0,02	1,41	70 146	404	176	0,58	0,25	0,83	
2002	71 649	394	625	18	0,55	0,87	0,03	1,45	44 120	385	202	0,87	0,46	1,33	
2003	59 847	384	826	18	0,64	1,38	0,03	2,05	52 737	334	97	0,63	0,18	0,82	
2004	54 558	366	596	13	0,67	1,09	0,02	1,79	27 048	277	183	1,02	0,68	1,70	
2005	95 755	346	607	43	0,36	0,63	0,05	1,04	34 620	515	171	1,49	0,49	1,98	
2006	102 702	275	519	0	0,27	0,50	0,00	0,77		601	213				
2007	135 098	599	646	33	0,44	0,48	0,02	0,95	42 717	628	144	1,47	0,34	1,81	
2008	45 774	282	840	0	0,62	1,84	0,00	2,45	34 812	229	169	0,66	0,49	1,14	
2009	37 086	295	688	16	0,80	1,86	0,04	2,69	32 432	611	247	1,88	0,76	2,65	
2010	47 987	343	493	19	0,71	1,03	0,04	1,78	37 290	949	230	2,54	0,62	3,16	
2011	45 050	171	758	8	0,38	1,68	0,02	2,08	44 192	263	148	0,60	0,34	0,93	
2012	40 585	180	259	0	0,44	0,64	0,00	1,08	44 896	172	40	0,38	0,09	0,47	
2013	36 623	319	732	0	0,87	2,00	0,00	2,87	42 154	235	110	0,56	0,26	0,82	
2014	56 298	499	662	6	0,89	1,18	0,01	2,07	30 583	571	196	1,87	0,64	2,51	
2015		173	543	4					47 414	578	192	1,22	0,40	1,62	
2016	58 130	131	395		0,23	0,68			42 059	212	71	0,50	0,17	0,67	
2017	34 110	278			0,82				27 278	184		0,67			
2018	38 049								35 364						
					<b>Moyenne</b>					<b>Moyenne</b>					
					0,46%	0,91%	0,02%	1,40%		<b>Moyenne 1992-2017</b>			1,31%	0,81%	2,14%
					0,46%	0,85%	0,02%	1,33%		<b>Moyenne 1992-2017</b>			0,90%	0,46%	1,36%

Estimations obtenues en faisant la moyenne des cinq dernières années pour lesquelles un minimum de 15 individus ont été âgés

<sup>1</sup> Y compris la pêche commerciale.

## Figures

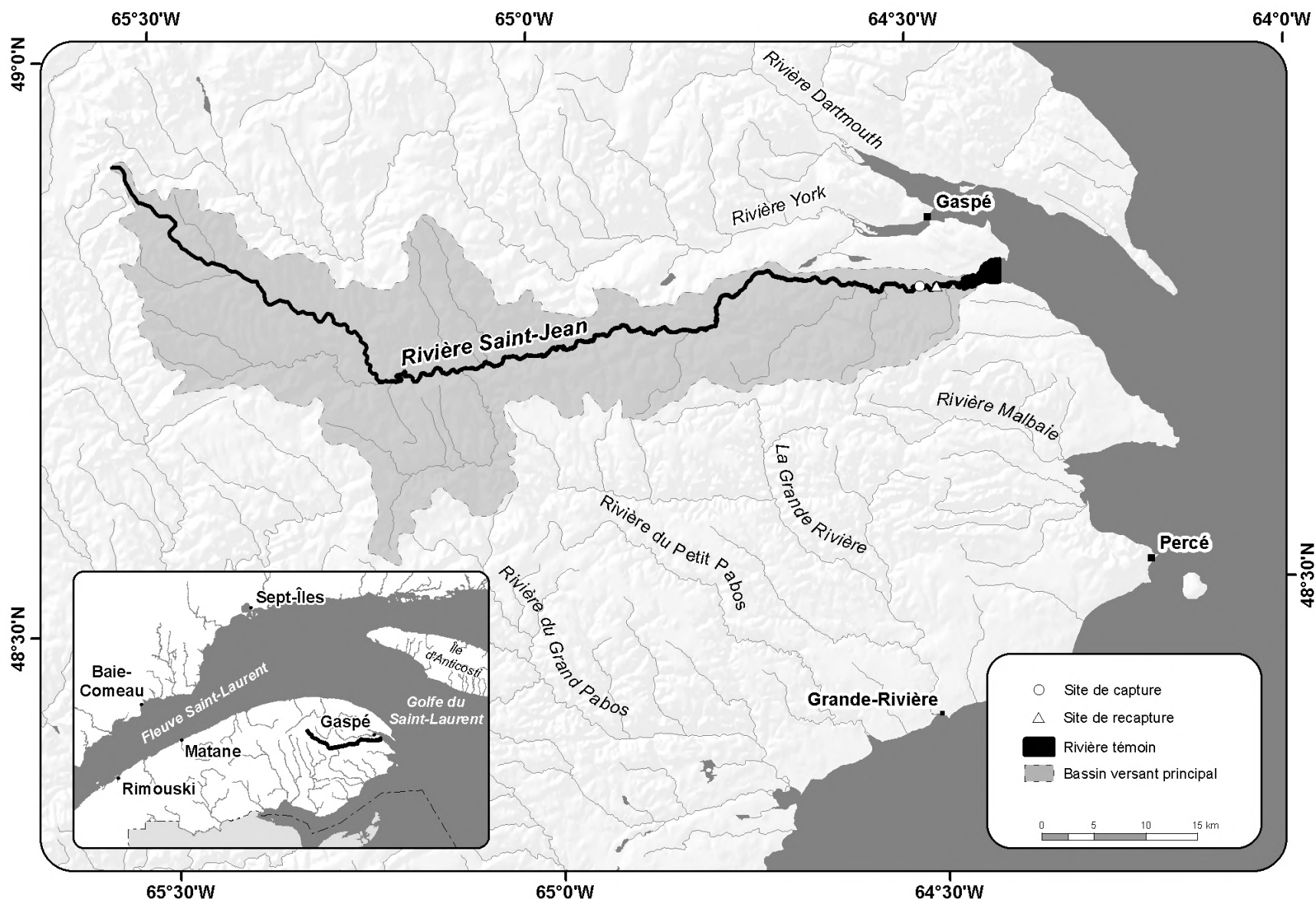


Figure 1. La rivière Saint-Jean dans son contexte géographique

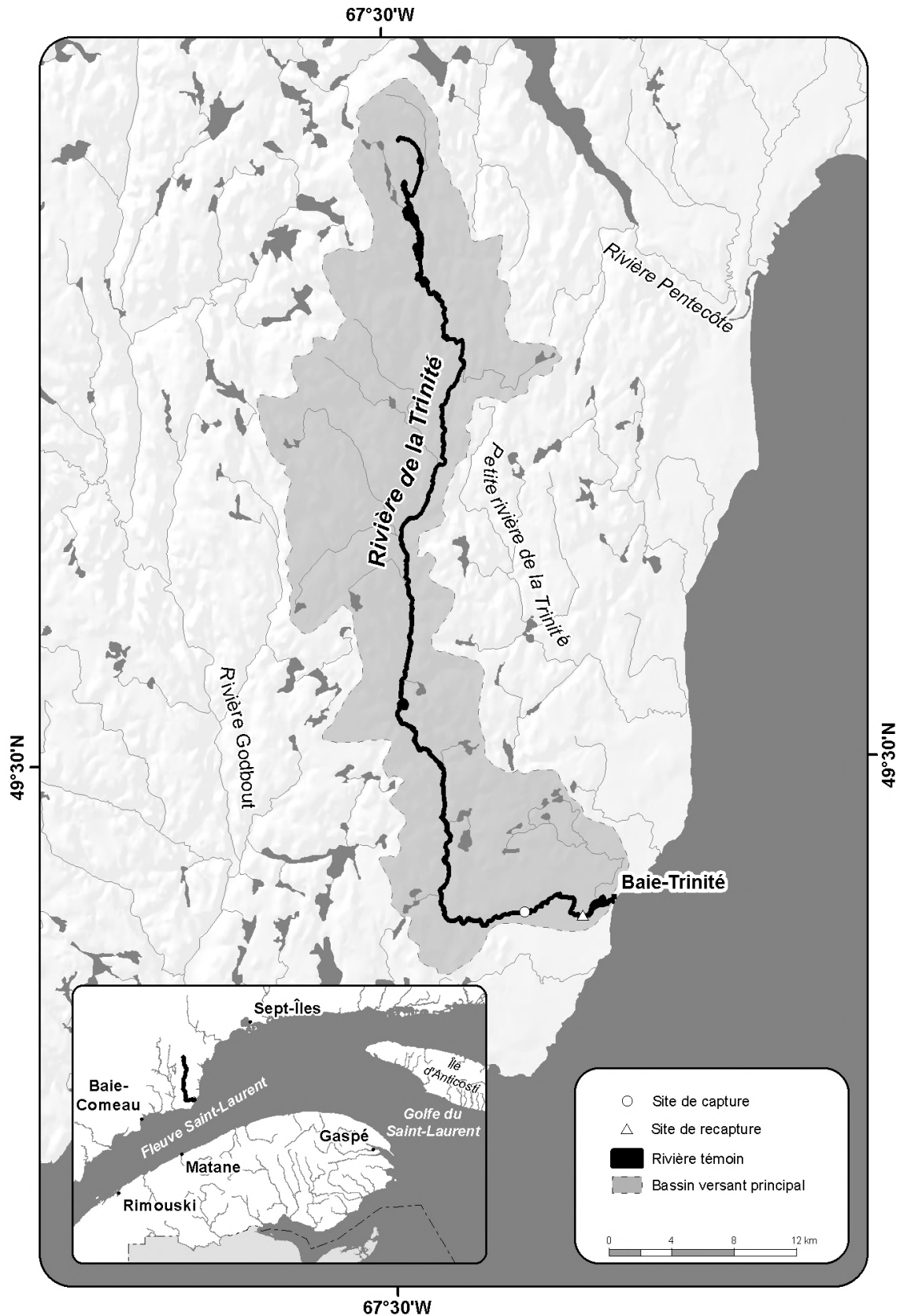


Figure 2. La rivière de la Trinité dans son contexte géographique

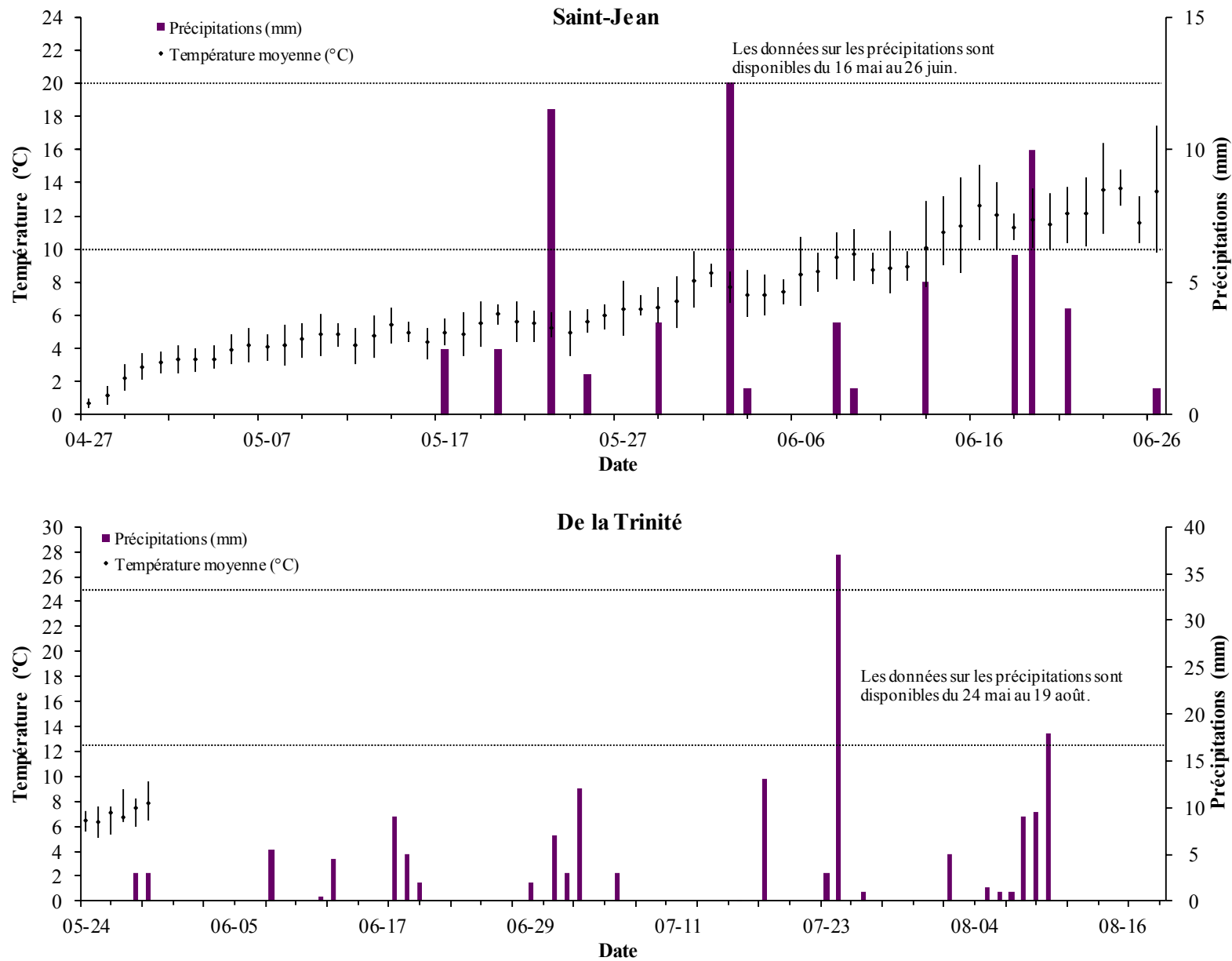
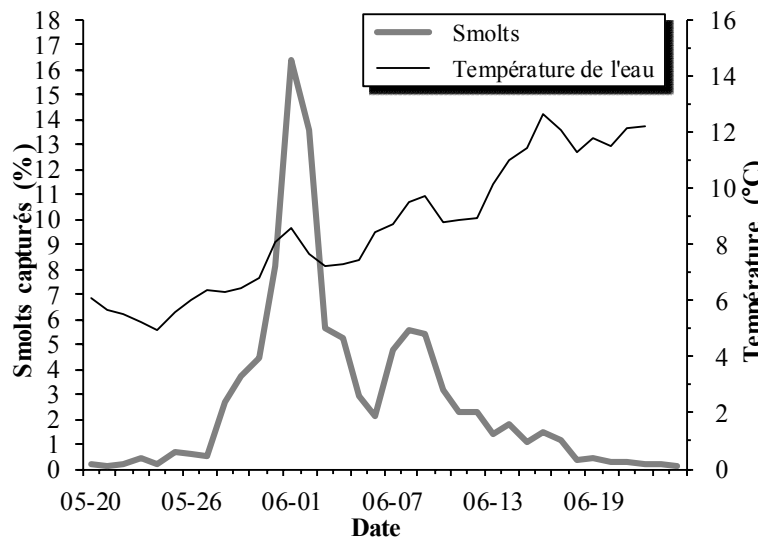
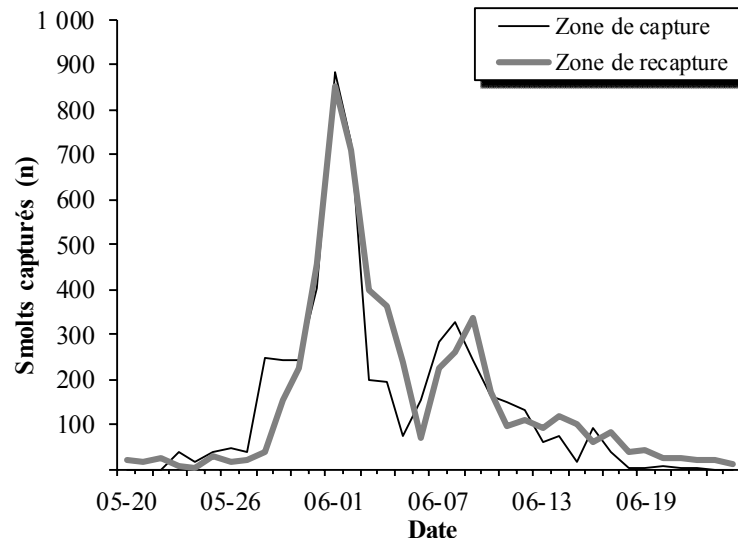


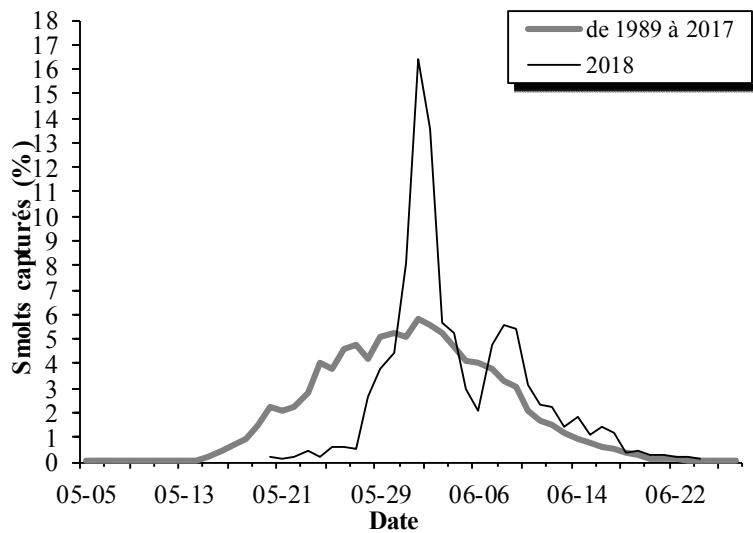
Figure 3. Précipitations et température journalière de l'eau des rivières Saint-Jean et de la Trinité en 2018



Comparaison entre la température moyenne journalière de l'eau et la capture des smolts



Nombre de captures quotidiennes



Pourcentage de smolts capturés chaque jour

Figure 4. Dévalaison des smolts dans la rivière Saint-Jean en 2018

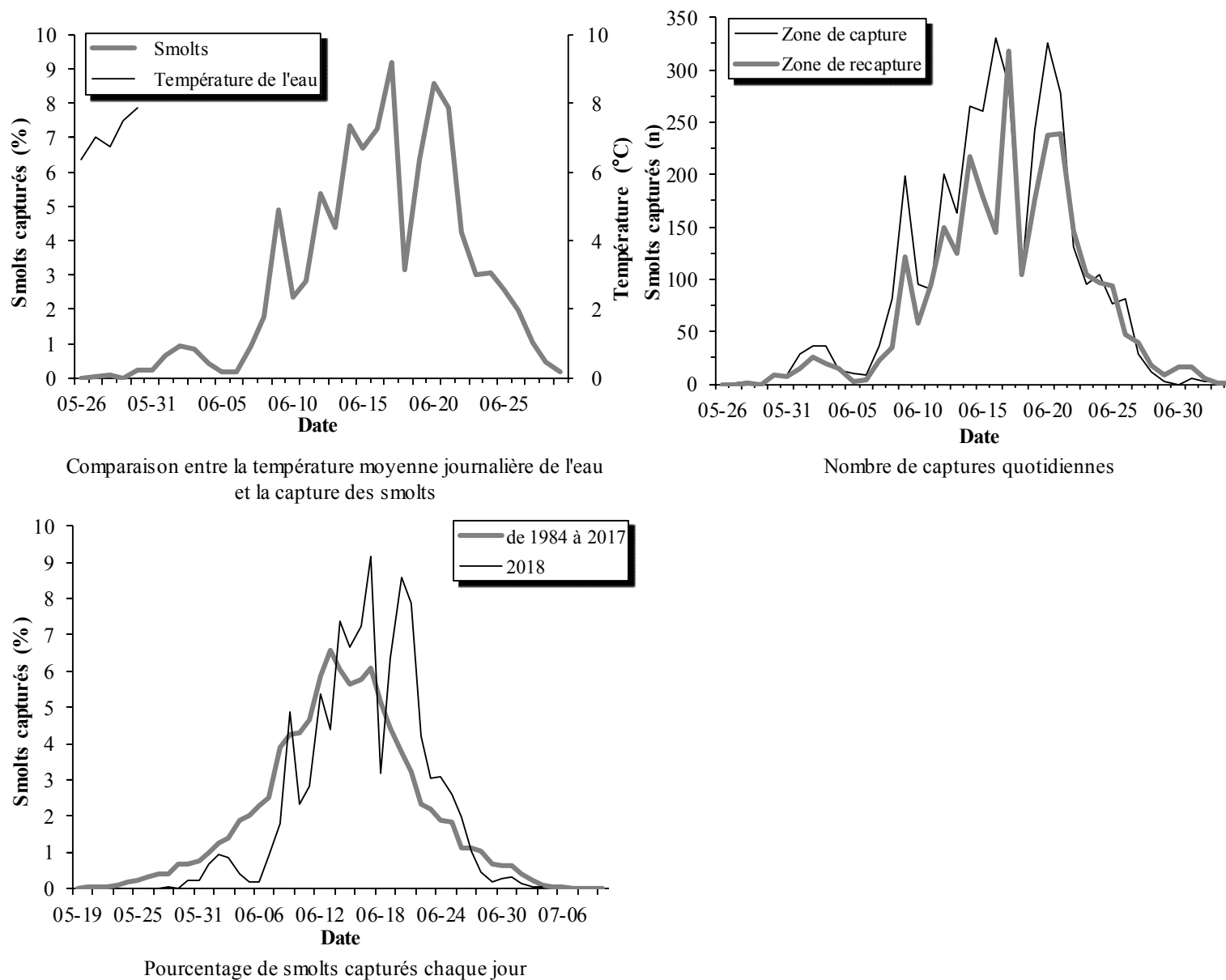


Figure 5. Dévalaison des smolts dans la rivière de la Trinité en 2018

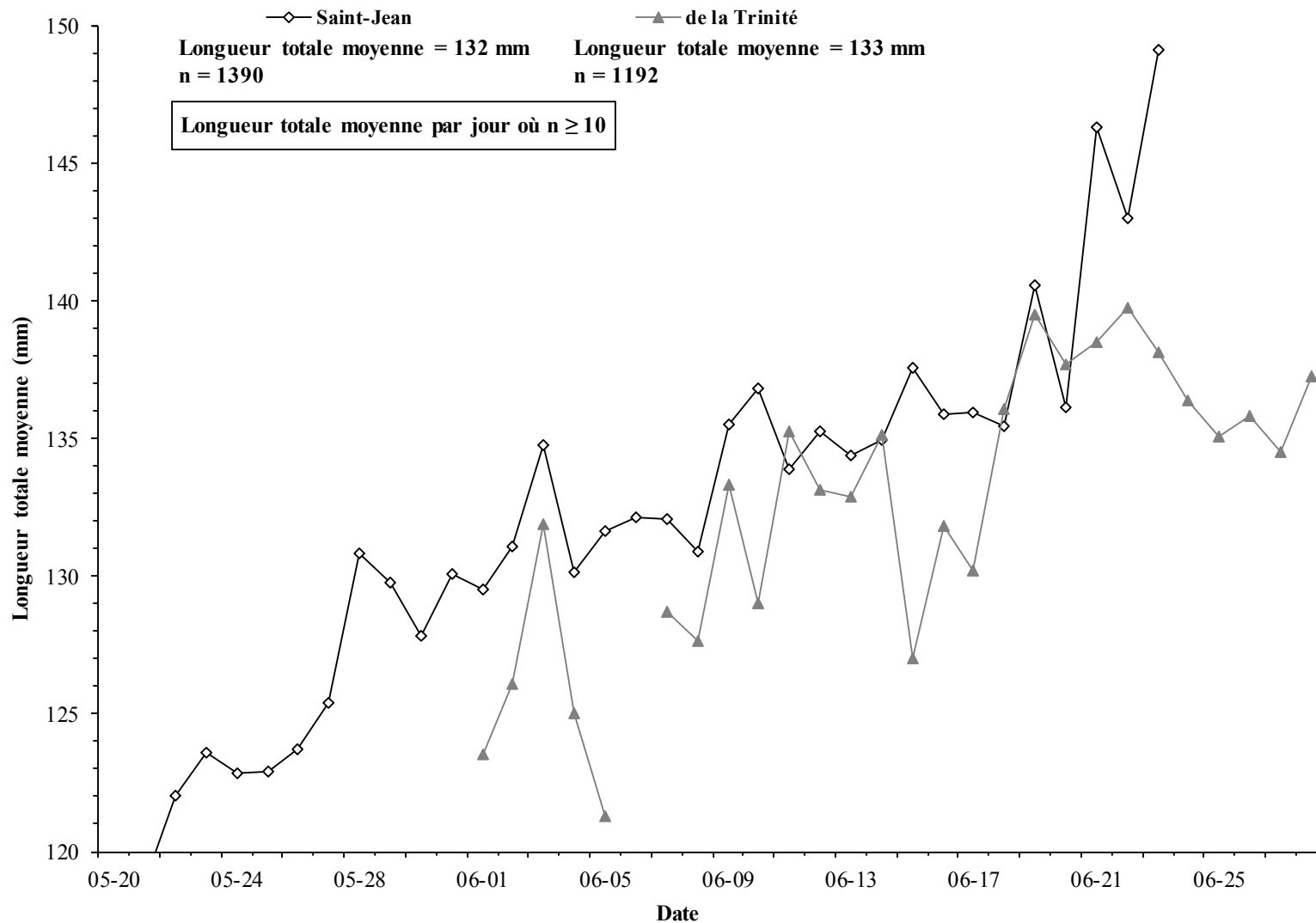
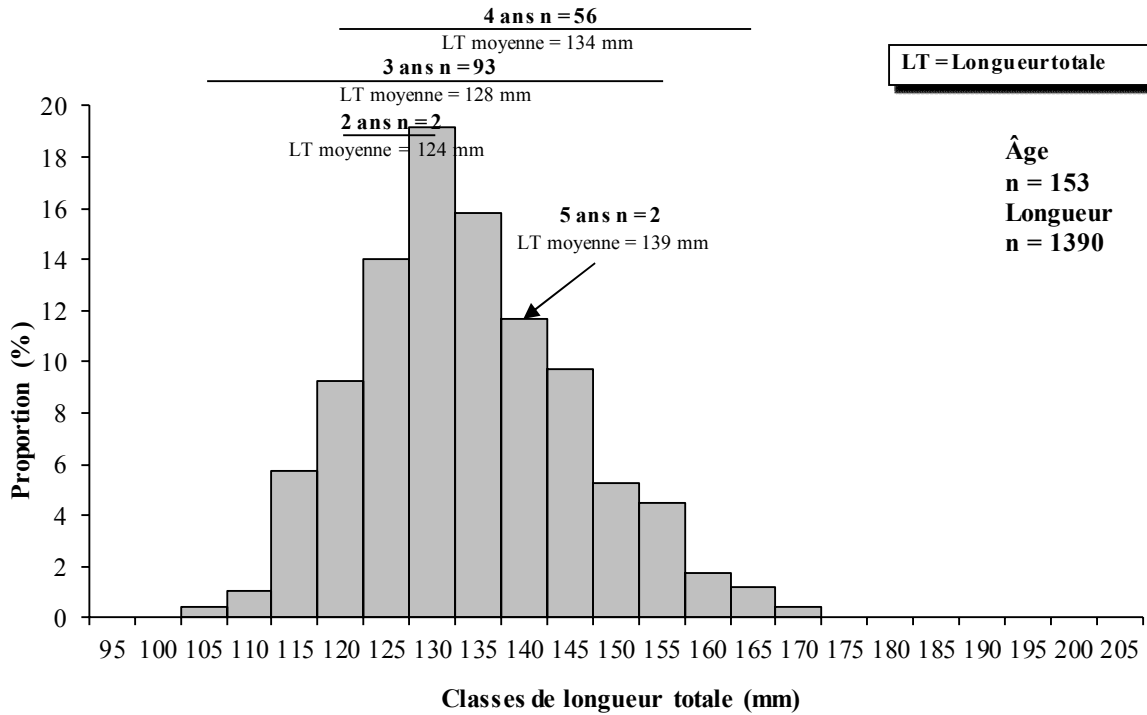


Figure 6. Comparaison de la longueur totale moyenne journalière des smolts des rivières Saint-Jean et de la Trinité en 2018

### Saint-Jean



### De la Trinité

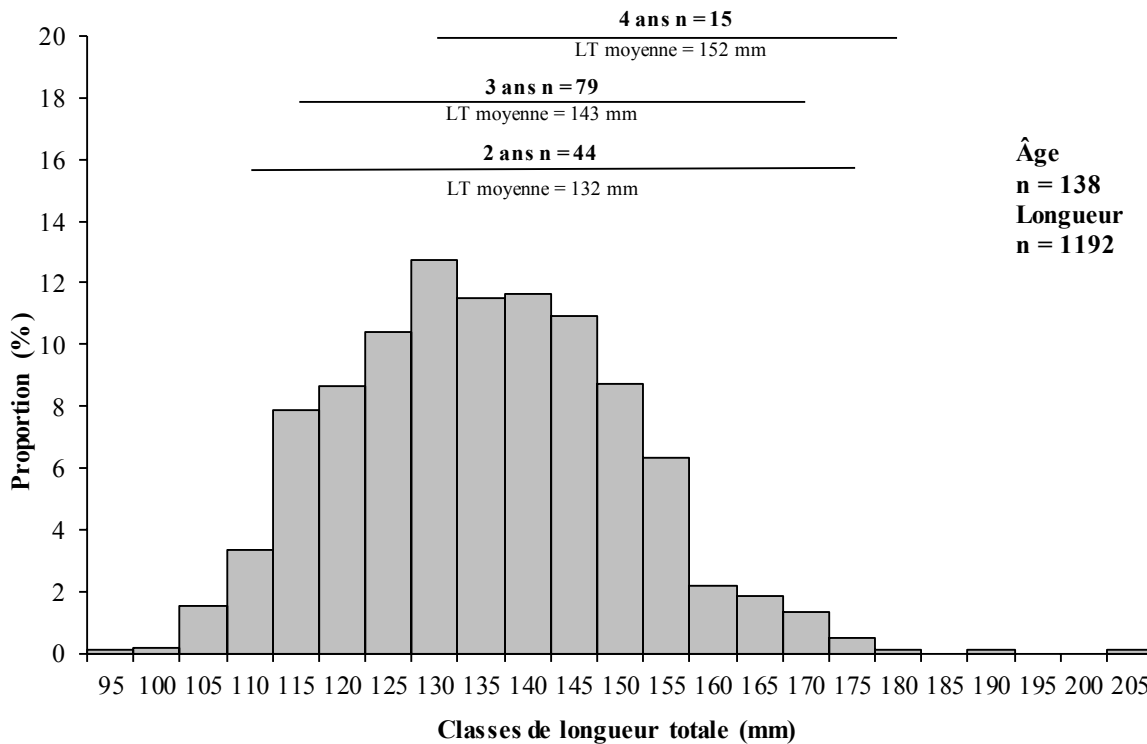


Figure 7. Classes de longueur des smolts mesurés vivants et intervalles de classes de longueur en fonction de l'âge des smolts échantillonnés dans les rivières Saint-Jean et de la Trinité en 2018

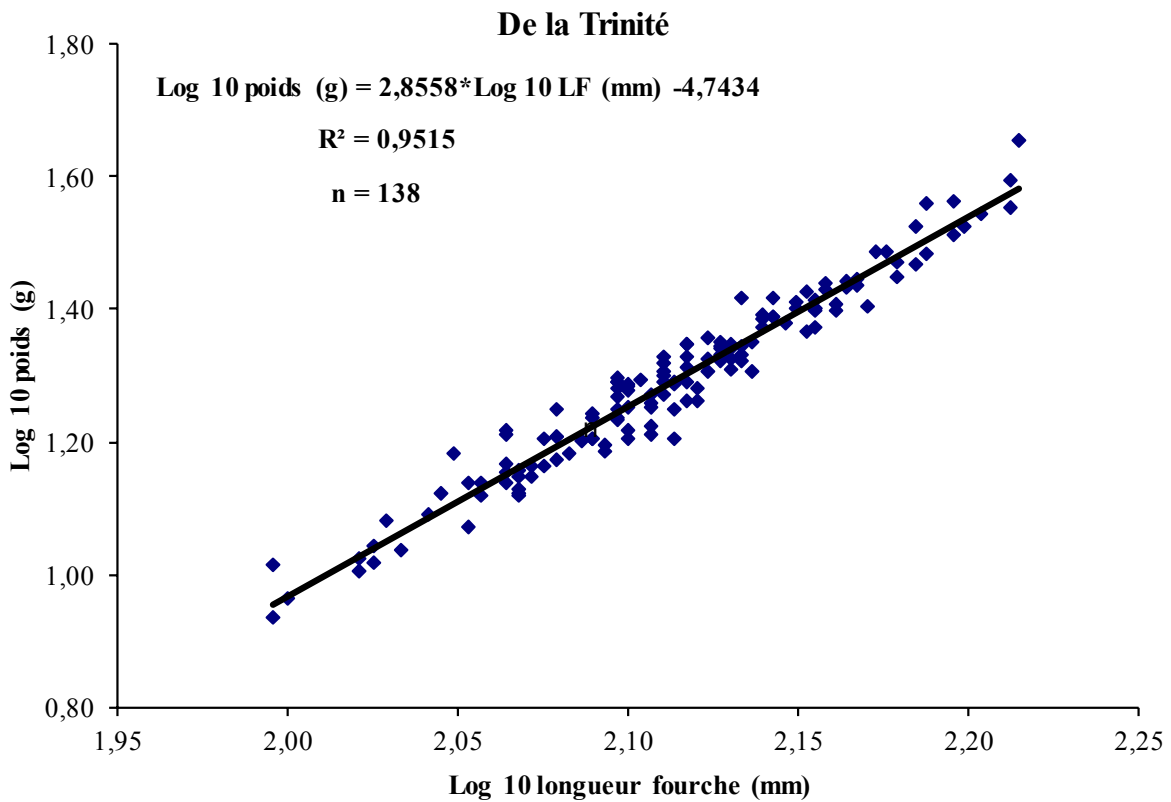
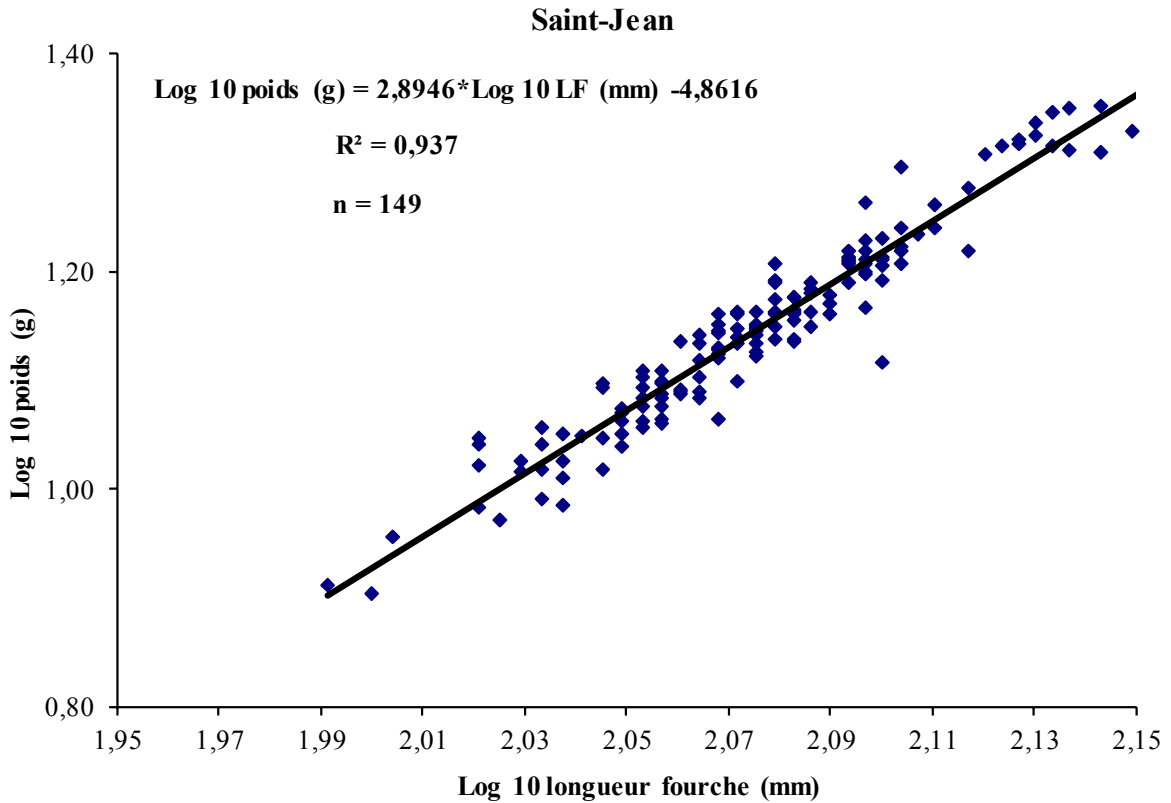


Figure 8. Relation longueur-poids des smolts des rivières Saint-Jean et de la Trinité en 2018

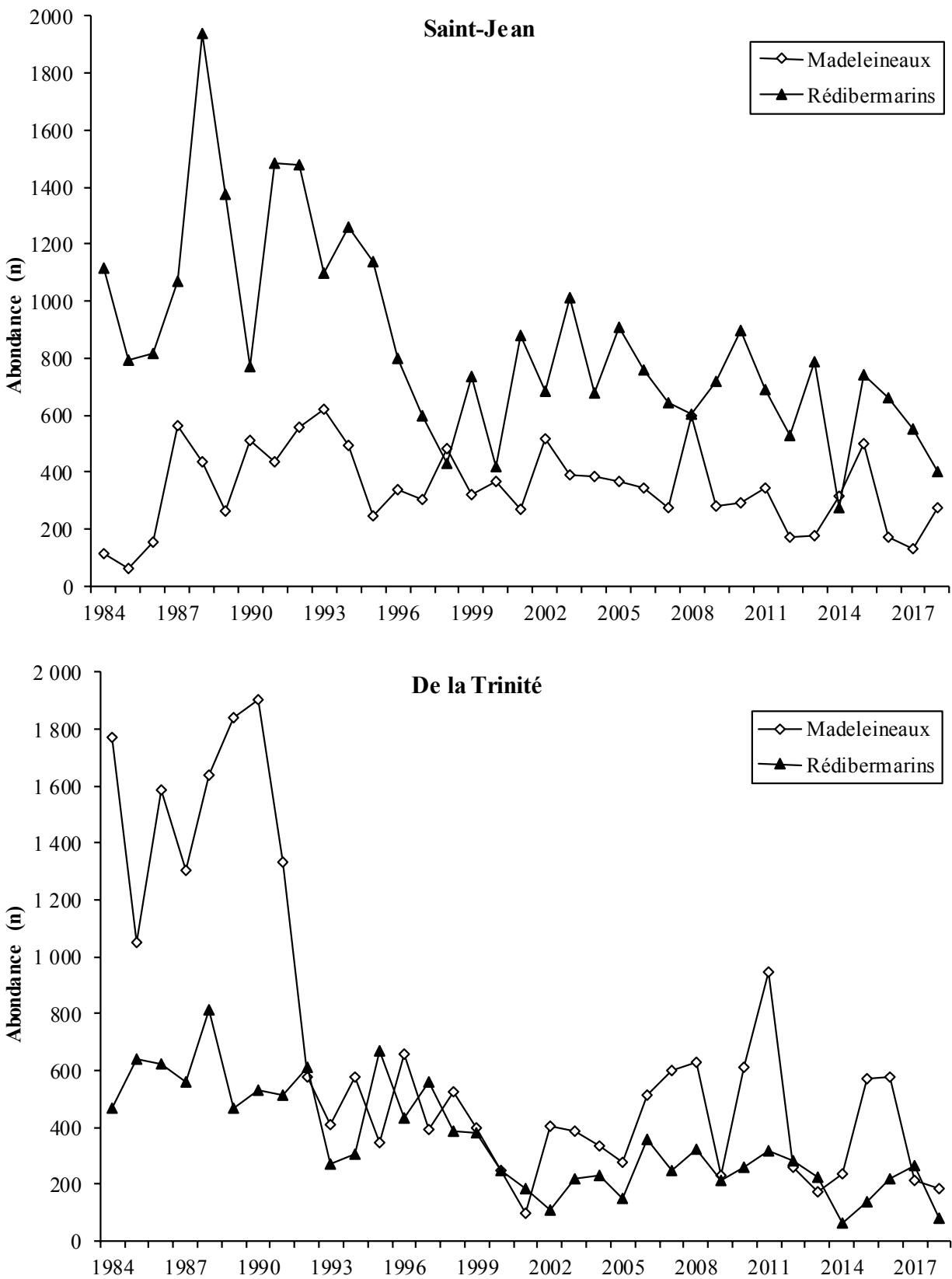


Figure 9. Abondance des madeleineaux et des rédiBERmarins dans les rivières Saint-Jean et de la Trinité de 1984 à 2018

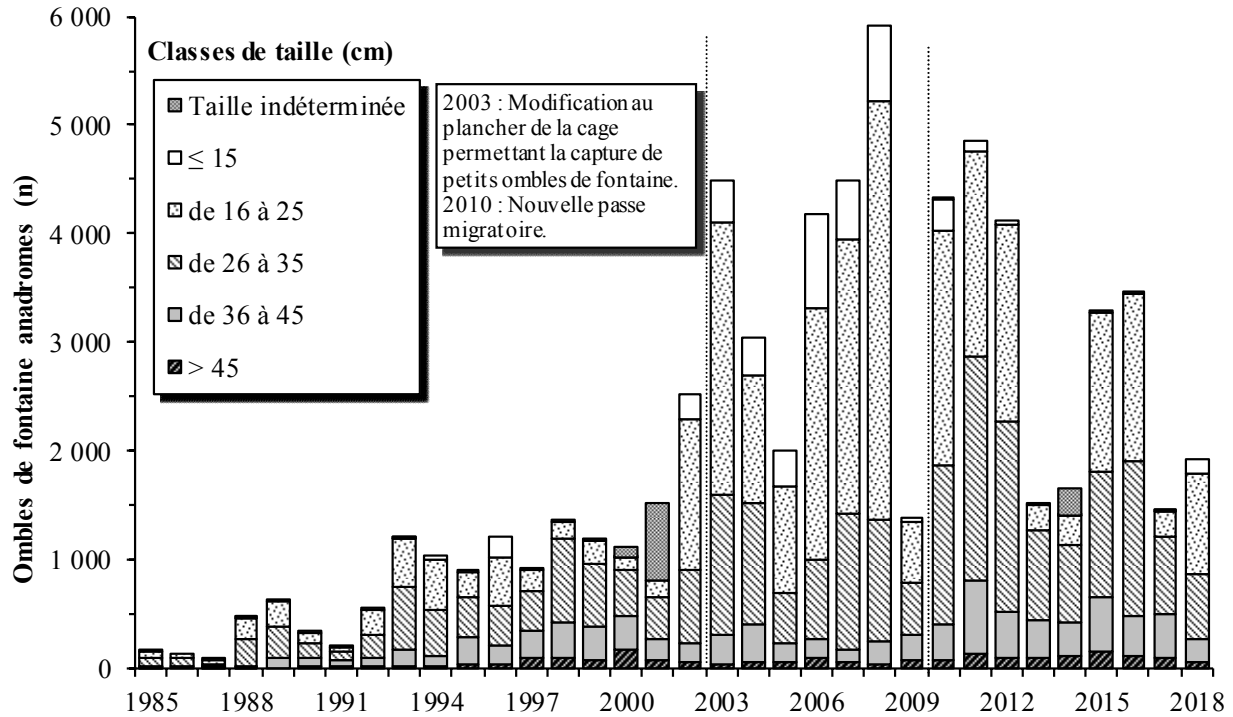


Figure 10. Nombre d'ombles de fontaine anadromes en montaison enregistrés annuellement à la passe migratoire, présentés par classes de taille, dans la rivière de la Trinité de 1985 à 2018

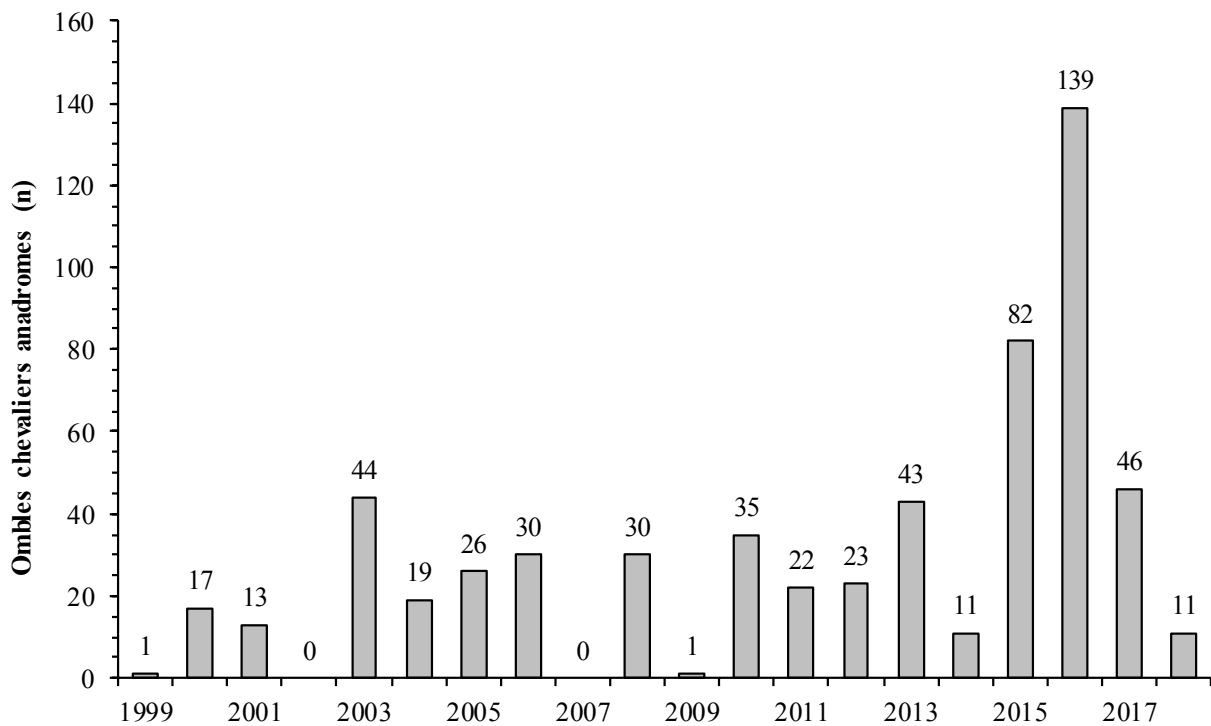


Figure 11. Nombre d'ombles chevaliers anadromes en montaison enregistrés annuellement à la passe migratoire de la rivière de la Trinité de 1999 à 2018

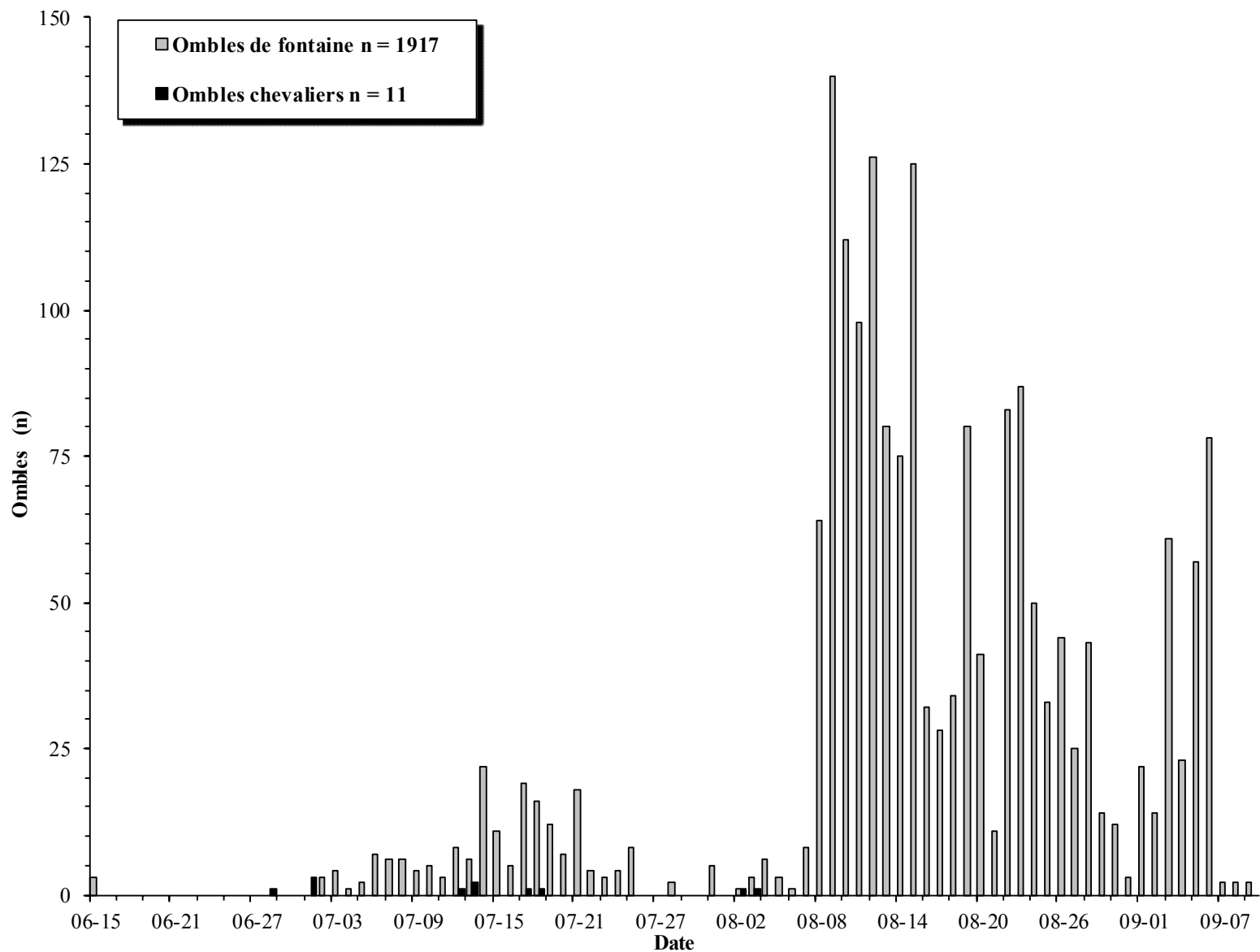


Figure 12. Nombre d'ombles de fontaine et d'ombles chevaliers anadromes en montaison enregistrés quotidiennement à la passe migratoire de la rivière de la Trinité en 2018

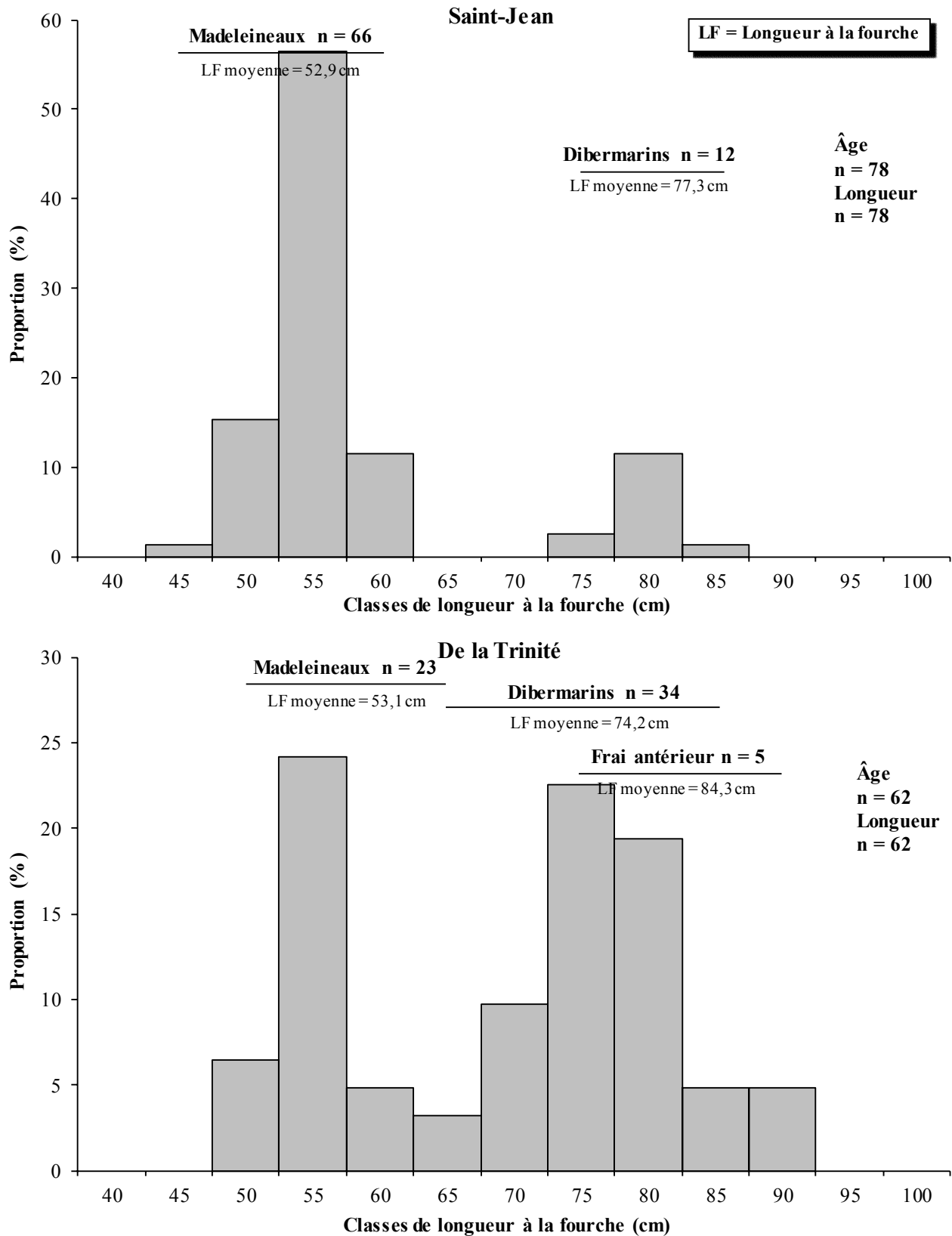


Figure 13. Classes de longueur et intervalles de classes de longueur en fonction de l'âge des saumons adultes échantillonnés dans les rivières Saint-Jean et de la Trinité en 2018

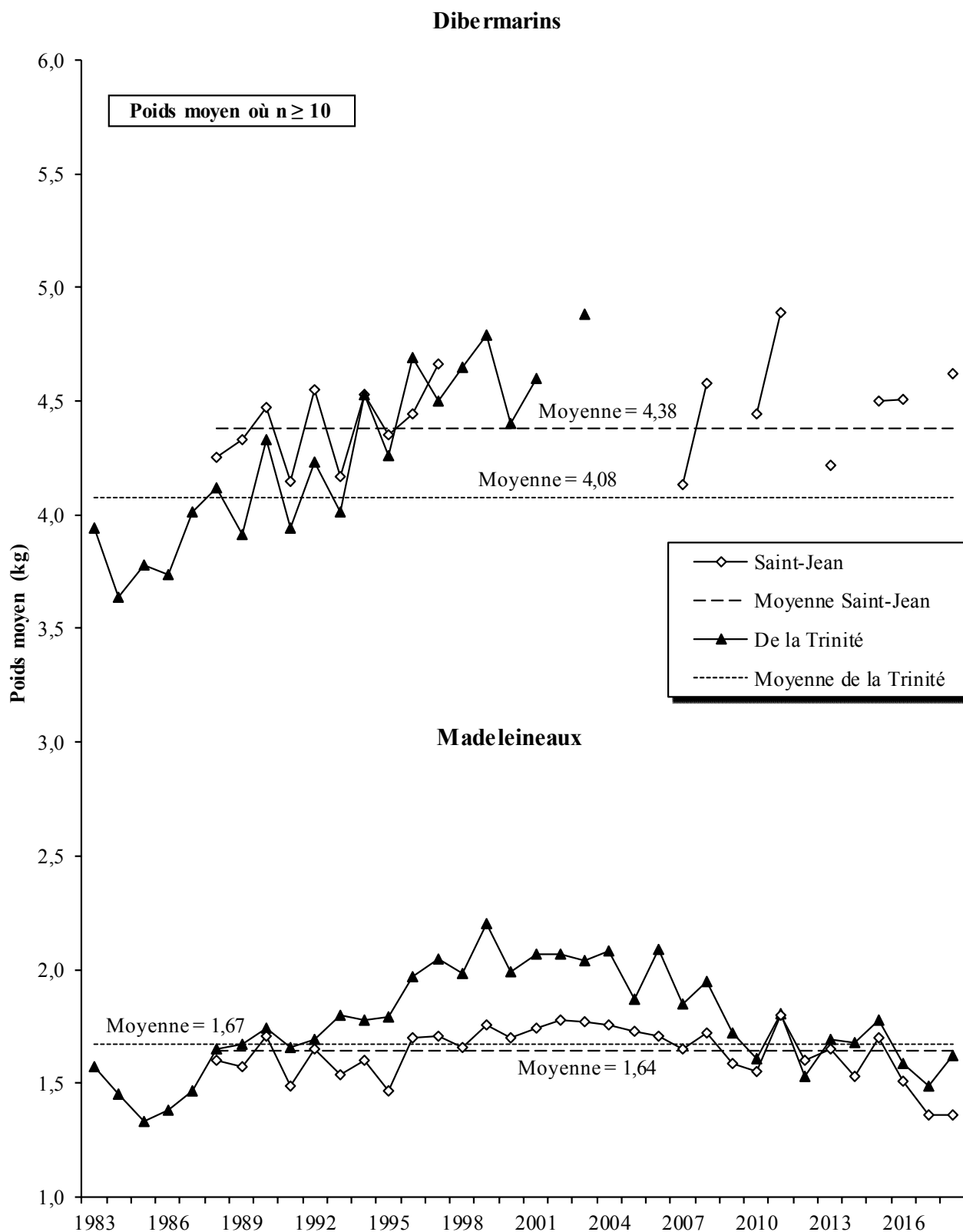


Figure 14. Poids moyen des saumons des rivières Saint-Jean et de la Trinité de 1983 à 2018

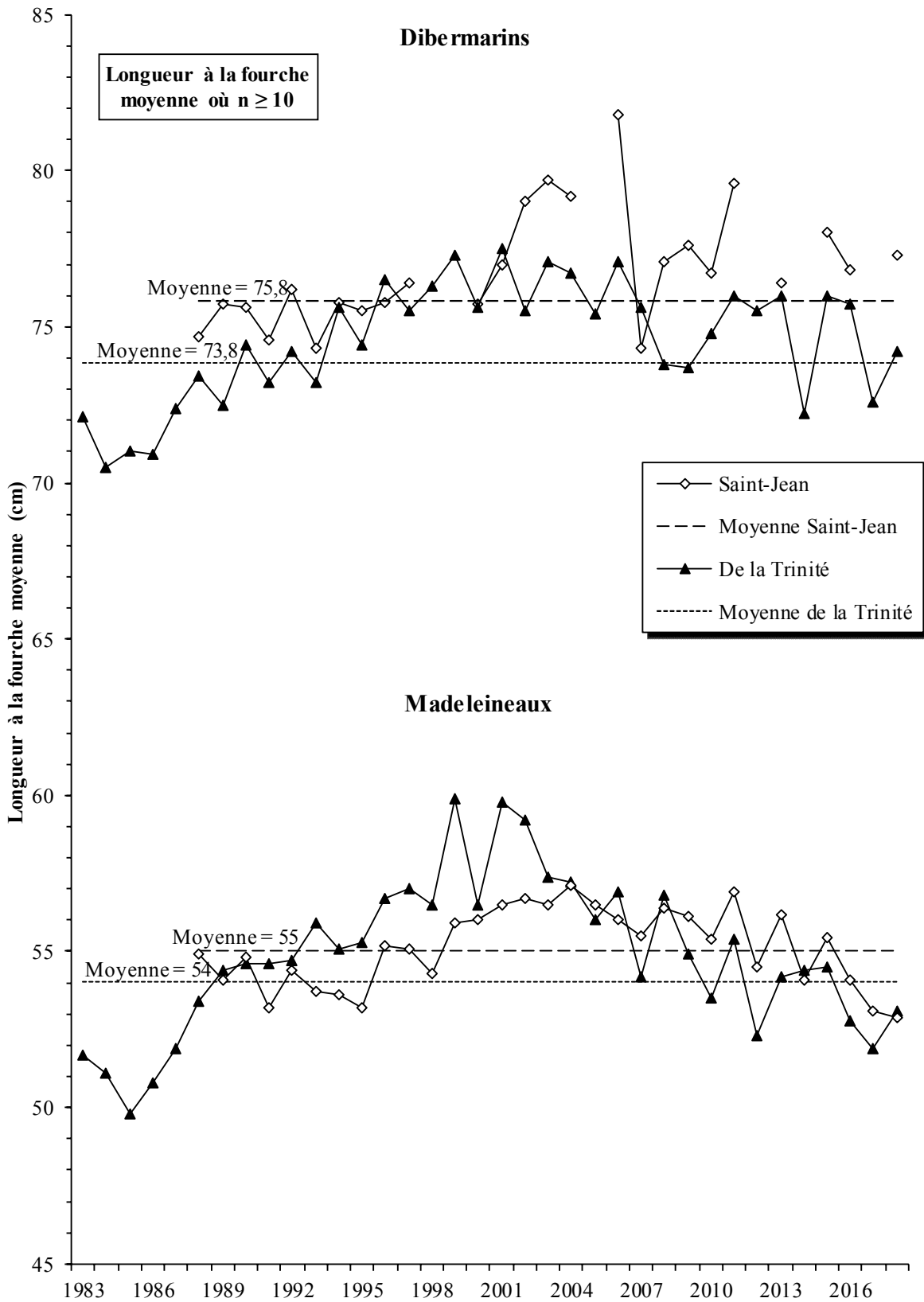


Figure 15. Longueur à la fourche moyenne des saumons des rivières Saint-Jean et de la Trinité de 1983 à 2018

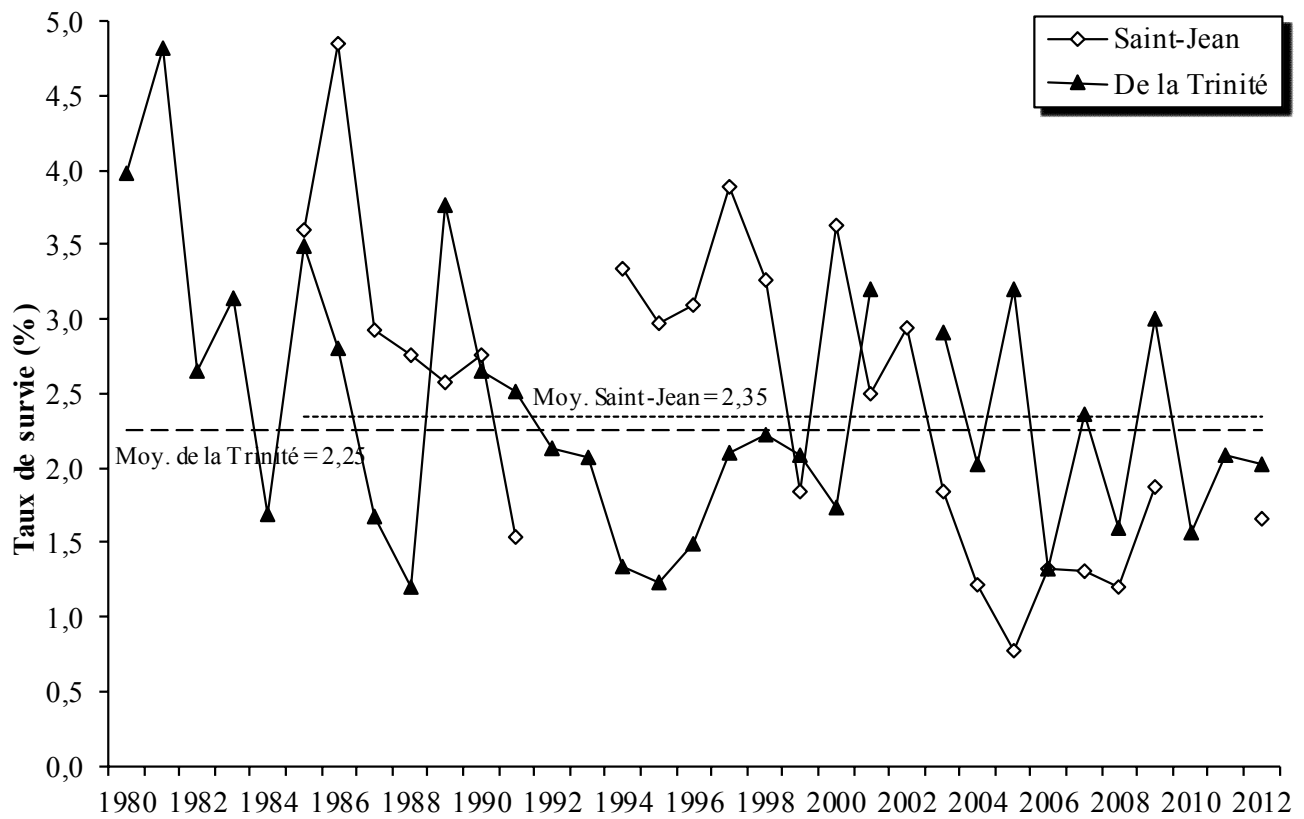


Figure 16. Taux de survie en rivière, de l'œuf au smolt, dans les rivières Saint-Jean et de la Trinité

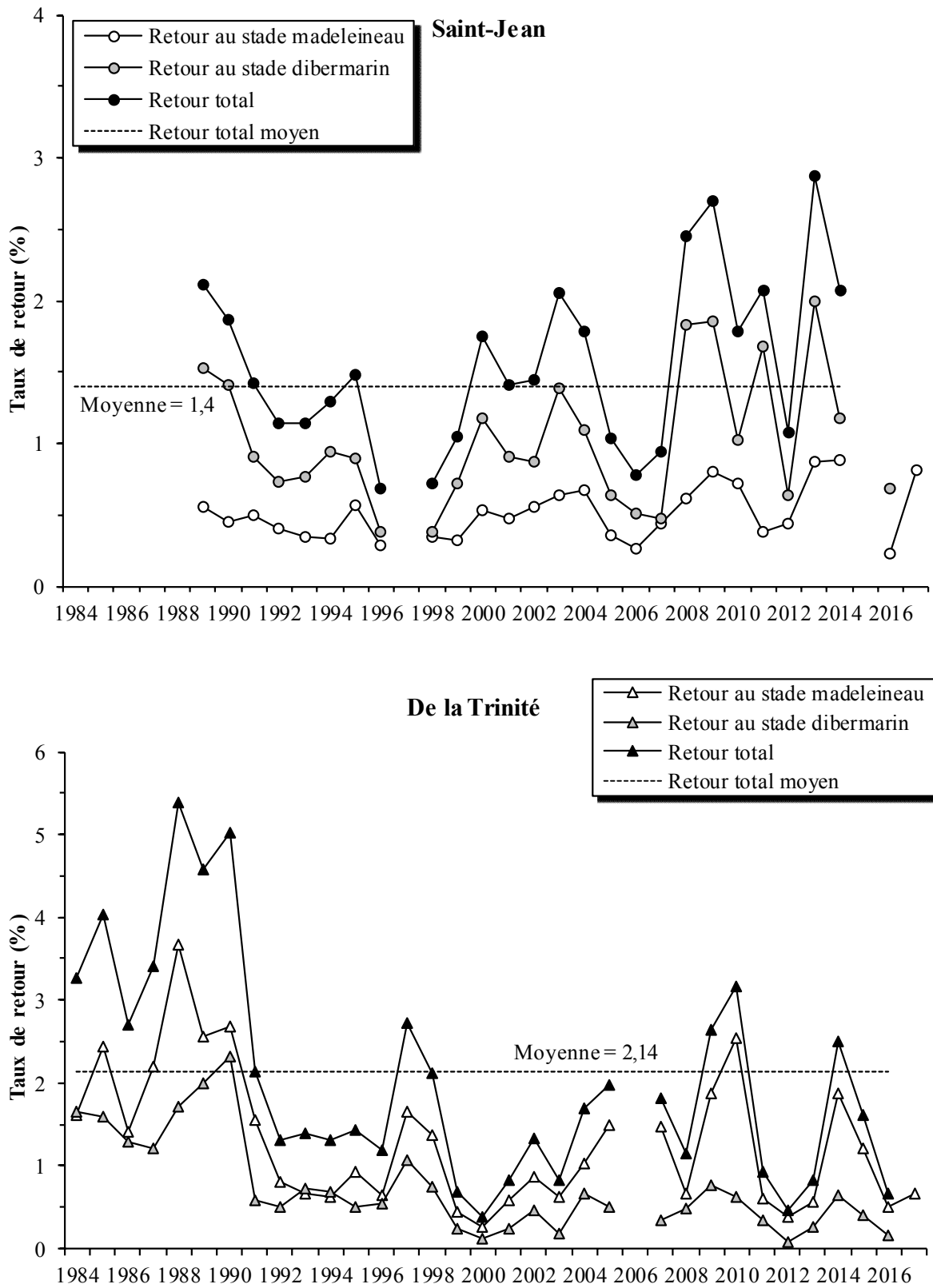


Figure 17. Taux de retour de la mer, du smolt à l'adulte, dans les rivières Saint-Jean et de la Trinité. L'abondance totale des saumons de la rivière Saint-Jean pour la dernière année est estimée.